



Artike

# Studie über die Bewegungseigenschaften von Brandrauch und deren Auswirkungen auf die Personenevakuierung in kurvigen Autobahntunneln

Yuang Cui und Zhiqiang Liu \*

Fakultät für Bauingenieurwesen, Lanzhou Jiaotong University, Lanzhou 730070, China; 11220166@stu.lzjtu.edu.cn \* Korrespondenz: lzqiang@mail.lzjtu.cn

Vorgestellte Anwendung: Vorgestellte Anwendung: Branddynamiksimulator Pyrosim.

Zusammenfassung: In der bisherigen Forschung zu Tunnelbränden konzentrieren sich die Forscher hauptsächlich auf gerade Tunnel und vernachlässigen die Auswirkungen gekrümmter Seitenwände in gekrümmten Tunneln. Basierend auf der Theorie der Rauchdiffusion wurde eine Reihe numerischer CFD-Simulationen mit dem Fire Dynamics Simulator durchgeführt, um die Eigenschaften der Rauchverteilung in einem gekrümmten Autobahntunnel zu untersuchen. Die Ergebnisse zeigten, dass bei einem Brand in einem gekrümmten Tunnel unterschiedliche Rauchverteilungsmerkmale beobachtet wurden mit denen in geraden Tunneln verglichen, wobei erhebliche Unterschiede besonders beim Krümmungsradius des Tunnels unter 1000 m deutlich wurden. Durch Vergleich der Rauchverteilungseigenschaften von verschiedenen Brandherdstellen wurden die ungünstigsten Brandherdstellen in einem gekrümmten Tunnel ermittelt. Hohe Temperaturen beim Brand stauen sich zwischen den Innen- und Außenwänden des Tunnels, wodurch in der Nähe des Brandherds mehrere Hochtemperaturzonen entstehen , anstatt sich in einem geradlinigen Tunnel direkt zum Ausgang zu verteilen. Zusätzlich wurden auf Grundlage einer Analyse von Temperatur, Sichtweite und CO-Konzentration in charakteristischen Höhen geeignete Stellen für Fußgängerüberwege innerhalb des Tunnels abgeleitet und eine Evakuierungsstrategie für Personen im Kernbrandbereich vorgeschlagen. Die Ergebnisse

können als Referenz für persönliche Evakuierungsstrategien bei Bränden in gekrümmten Autobahntunneln und für die



Zitat: Cui, Y.; Liu, Z. Studie über Feuer Rauchbewegungseigenschaften und Ihr Einfluss auf die Personenevakuierung in kurvigen Autobahntunneln. Appl. Sci. 2024, 14, 6339. https://doi.org/10.3390/ app14146339

Wissenschaftlicher Herausgeber: Cheng-Yu Ku

Empfangen: 22. Juni 2024 Überarbeitet: 15. Juli 2024 Akzeptiert: 18. Juli 2024 Veröffentlicht: 20. Juli 2024



Copyright: © 2024 bei den Autoren.
Lizenznehmer MDPI, Basel, Schweiz.
Dieser Artikel ist ein Open Access-Artikel
vertrieben unter den Bedingungen und
Bedingungen der Creative Commons
Namensnennungslizenz (CC BY)
(https://creativecommons.org/licenses/by/4.0/).

Schlüsselwörter: gekrümmter Autobahntunnel; Feuer; Rauchverteilung; persönliche Evakuierung

Gestaltung eines Stollens für Passanten in solchen Tunneln dienen .

# 1. Einleitung

Mit der Weiterentwicklung der Tunnelvortriebstechnologie hat der Anteil gekrümmter Autobahntunnel innerhalb von Autobahnsystemen allmählich zugenommen. Die einzigartige Struktur eines gekrümmten Tunnels führt je nach Radius der Tunnelkurve zu einer größeren Komplexität der Rauchströmung und der Temperaturschwankungen bei Brandvorfällen [1–3]. Frühere Forschungen haben die Bewegungsmuster von Brandrauch in linearen Tunneln beschrieben und Formeln zur Berechnung der Länge der Rauchrückschicht, der kritischen Windgeschwindigkeit und der Höchsttemperatur bereitgestellt . Die Ausbreitung des Rauchs unterliegt jedoch verschiedenen Einflussfaktoren wie der Höhe, der Neigung des Tunnels und der Tunnelkrümmung. Die Tunnelkrümmung bildet den Schwerpunkt dieser Untersuchung.

Frühere Untersuchungen haben gezeigt, dass gekrümmte und gerade Tunnel unterschiedliche Merkmale aufweisen. Kashef et al. untersuchten die Rauchbekämpfungsstrategie in den geradlinigen und gekrümmten Bereichen eines Tunnels durch Experimente und numerische Simulationen. Ihre Ergebnisse zeigten, dass, wenn sich die Brandquelle im gekrümmten Bereich befand, die Temperatur in der Nähe der Brandquelle deutlich niedriger war als im geraden Bereich und die Länge der Rauchrückschicht zunahm [4].

Namensnennungslizenz (CC BY)

Inzwischen wurden Korrekturformeln für Schlüsselindikatoren von Bränden in gekrümmten Tunneln

(https:// creativecommons.org/licenses/by/

Modelle für die Brandrauchbewegungseigenschaften eines gekrümmten Tunnels mit einem Radius von

Appl. Sci. **2024**, 14, 6339 2 von 18

600 m und schlugen eine Berechnungsmethode für den Widerstand entlang des gekrümmten Tunnels vor, um das Gesetz des Einflusses des gekrümmten Tunnels auf den Flüssigkeitsfluss zu klären [5-7]. Caliendo et al. setzten eine numerische CFD-Simulation ein, um den Einfluss der Längslüftung auf die Rauchrückschichtung in einem zweispurigen gekrümmten Tunnel zu untersuchen und sagten die Stelle der maximalen Deckentemperatur voraus [8]. Wu et al. untersuchten die Brandrauchtransporteigenschaften des Autobahntunnels in der Qianhaizi-Kurve, um die kritische Windgeschwindigkeit des Tunnels zu bestimmen [9]. Wang führte numerische Simulationen eines Brandes in einem gekrümmten Straßentunnel mit Fluent durch, um die kritische Windgeschwindigkeit an den konvexen und konkaven Stellen der Brandquelle zu vergleichen. Sie analysierten auch die Länge der Rauchrückschichtung und kamen zu dem Schluss, dass die kritische Geschwindigkeit an der konvexen Stelle höher war [10]. Zhong et al. untersuchten das Gesetz der Rauchausbreitung bei Bränden in geneigten und gekrümmten Tunneln durch numerische Simulationen und Experimente und fanden heraus, dass die Stelle mit den größten Unterschieden bei den Wärmeübertragungsraten die Tunneldecke unter verschiedenen Arbeitsbedingungen war [11]. Zhang et al. kombinierte numerische Simulation mit theoretischer Analyse, um ein für gekrümmte Tunnel geeignetes Brandmodell zu bestimmen, und untersuchte die Länge der Rauchschicht und die kritische Belüftungsgeschwindigkeit gekrümmter Tunnel [12]. Pan et al. untersuchten die Auswirkung einer gekrümmten Seitenwand auf die Brandform und die Maximaltemperatur unterhalb der Deckenmittellinie und erstellten Formeln zur Vorhersage der Maximaltemperatur unterhalb der Deckenmittellinie [13]. Lu untersuchte die Temperaturverteilung in gekrümmten Tunneln mithilfe einer numerischen Simulationsmethode und schlug ein neues exponentielles Abklingmodell zur Vorhersage der Längstemperatur unter verschiedenen Tunnelkrümmungsbedingungen vor [14].

Xu et al. führten Experimente und numerische Simulationen durch, um die kritische Geschwindigkeit eines gekrümmten Tunnels unter verschiedenen Brand-Szenarien zu analysieren [15].

Dennoch gibt es nur wenige Untersuchungen, die sich direkt mit den Auswirkungen von Bränden in gekrümmten Tunneln auf die Evakuierung von Personen befassen. Muhasilovic et al. untersuchten den Einfluss des Krümmungsradius (>2500 m) auf die Wärmestrahlung und Rauchverteilung in einem Tunnel durch numerische Simulation [16]. Lu entwickelte ein numerisches Modell mit FDS, um die Rauchausbreitung und Temperaturverteilung eines Tunnelbrandes im geraden und im gekrümmten Abschnitt zu vergleichen. Sie fanden heraus, dass der Rauchrückfluss stärker war und die Temperatur stärker anstieg, wenn der Brand im gekrümmten Abschnitt auftrat [17].

Zhao et al. verwendeten FDS, um eine numerische Simulation eines Tunnelbrandes mit kleinem Krümmungsradius durchzuführen und fanden heraus, dass der Krümmungsradius zu einem großen Temperaturgradienten in der Nähe der Brandquelle führen würde [18]. Li simulierte den Brandrauchfluss in einem Tunnel mit einfacher Krümmung mit Fluent, um die Veränderung der CO-Konzentration unter verschiedenen Krümmungs- und Belüftungsbedingungen zu ermitteln [19]. Liu et al. bewerteten Faktoren wie Tunnelkrümmung, Betriebszeit der Längslüftung und Belüftungsgeschwindigkeit, um den Einfluss der Parameter der Längslüftung auf die Feuerlöschwirkung von Wassernebel in einem gekrümmten Tunnel zu untersuchen [20].

Darüber hinaus wurden die Eigenschaften der Rauchausbreitung in der für das menschliche Auge typischen
Höhe und die Variation von Faktoren wie Temperatur, Sichtweite und CO-Konzentration bei Bränden in gekrümmten
Tunneln, die die Evakuierung von Personen beeinflussen, nicht berücksichtigt. Sogar die bestehenden Vorschriften
enthalten keine spezifischen Richtlinien für die Brandbekämpfung in gekrümmten Tunneln [21,22]. In diesem
Dokument werden daher die Eigenschaften der Rauchausbreitung in gekrümmten Autobahntunneln mit
unterschiedlichen Krümmungen ermittelt und die Auswirkungen auf die Evakuierung von Personen bewertet. Die
empfohlenen Evakuierungsstrategien und das Design eines Stollens für Personen werden ebenfalls bereitgestellt.
Der Schwerpunkt liegt auf dem spezifischen Rauchausbreitungsmuster und den Strategien zum Umgang mit dessen Auswirkung

# 2. Materialien und Methoden

# 2.1. Branddynamik-Simulator

Der Fire Dynamics Simulator (FDS) [23,24] ist ein vom US-amerikanischen National Institute of Standards and Technology entwickelter Code, der von vielen Forschern zur Untersuchung von Temperatur- und Geschwindigkeitsfeldern bei Bränden eingesetzt wird, nachdem die numerische Strömungsmechanik (CFD) ausgereifter geworden ist und Computerrechenfähigkeiten entwickelt wurden [25]. Die Gültigkeit dieses Codes wurde durch zahlreiche Arbeiten in der Brandforschung umfassend bestätigt. Der FDS ist für die Large-Eddy-Simulation (LES) von langsamen und thermisch angetriebenen Strömungen

Computational Fluid Dynamics (CFD) und die Entwicklung von Computer-Rechenfähigkeiten [25].

Die Gültigkeit dieses Codes wurde durch viele Arbeiten in der Brandforschung umfassend bestätigt!

Das FDS ist für die Large-Eddy-Simulation (LES) von langsamen und thermisch angetriebenen

Strömungen konzipiert, und die neue Version (Version 6) bietet viele Fortschritte in den

IeReeenberelleverrechte und die neue Version (Version 6) bietet viele Fortschritte in den

IeReeenberelleverrechte und die neue Version (Version 6.8) mit einem LES
Modelle wilder modesen Studie übernommen. Weitere Einzelheiten zum FDS finden Sie bei

e. Version Graffanien bie in Studien etwal (26). Das

durch und der version (Version 6.8) mit einem LES
durch und der version (Version 6.8) mit einem LES
durch und der version (Version 6.8) mit einem LES
durch und der version (Version 6.8) mit einem LES
durch und der version (Version 6.8) mit einem LES
durch und der version (Version 6.8) mit einem LES
durch und der version (Version 6.8) mit einem LES
durch und der version (Version 6.8) mit einem LES
durch und der version (Version 6.8) mit einem LES
durch und der version (Version 6.8) mit einem LES
durch und der version (Version 6.8) mit einem LES
durch und der version (Version 6.8) mit einem LES
durch und der version (Version 6.8) mit einem LES
durch und der version (Version 6.8) mit einem LES
durch und der version (Version 6.8) mit einem LES
durch und der version (Version 6.8) mit einem LES
durch und der version (Version 6.8) mit einem LES
durch und der version (Version 6.8) mit einem LES
durch und der version (Version 6.8) mit einem LES
durch und der version (Version 6.8) mit einem LES
durch und der version (Version 6.8) mit einem LES
durch und der version (Version 6.8) mit einem LES
durch und der version (Version 6.8) mit einem LES
durch und der version (Version 6.8) mit einem LES
durch und der version (Version 6.8) mit einem LES
durch und der version (Version 6.8) mit einem LES
durch und der

[27,28]. Studien [27,28]. 2.2. Brandszenarioanalyse

2.2. Brandszenarioanalyse
2.2. Brandszenarioanalyse
Wie in Abbildung 1 dargestellt, ist ein Tunnelmodell im Originalmaßstab mit einer Mittellinienlänge von 1000 m
Wie in Abbildung 1 dargestellt, ist ein Tunnelmodell im Originalmaßstab mit einer Mittellinienlänge von 1000 m
Wie in Abbildung 1 dargestellt, ist ein Tunnelmodell im Originalmaßstab mit einer Mittellinienlänge von 1000 m
in dieser Studie festgestellten Materialien. Der Tunnelabschnitt ist 10,75 m breit und 7,3 m hoch. Die Materialien
des Bodens, der Seitenwände und der Decke sind aus "Beton", einem häufig verwendeten Material
des Bodens, der Seitenwände und der Decke sind aus "Beton", einem häufig verwendeten Material
für Autobahntunnel. Das linke Portal des Tunnels ist als Luftzufuhröffnung für Autobahntunnel eingerichtet.
Langsluftung und die andere ist auf "offen" eingestellt. Die "einfache Chemie"-Verbrennung

Das Modell. verwendet N-Heptan als Brennstoff [29]. Basierend auf der Brandskala
für Verschiedene Arten und Anzahlen von
Bei den von PIARC 130 I. veröffentlichten Fahrzeugen wird die Brandskala für volle LkwBrande (30 MW) gewählt als
sen als HRR unter Berücksichtigung des Worst-Case-Szenarios. Die Brandquelle ist 2,6 m hoch,
HRR unter Berücksichtigung des Worst-Case-Szenarios. Die Brandquelle ist 2,6 m hoch,
Das id die Häbe ginge pormelog 1 kM/s.

Das Modell verwendet N-Heptan als Brennstoff [29]. Basierend auf der Brandskala für Verschiedene Arten und Anzahlen von Bei den Von PIAR C 130 I veröffentlichten Fahrzeugen wird die Brandskala für volle Lkw-Brande (30 MW) gewahlt als sen als HRR unter Berücksichtigung des Worst-Case-Szenarios. Die Brandquelle ist 2,6 m hoch, HRR unter Berücksichtigung des Worst-Case-Szenarios. Die Brandquelle ist 2,6 m hoch, HRR unter Berücksichtigung des Worst-Case-Szenarios. Die Brandquelle ist 2,6 m hoch, was Das ist die Höhe eines normalen LKWs. Der Umgebungsdruck wurde auf 101,325 kPa eingestellt und die Höhe eines normalen LKWs. Der Umgebungsdruck wurde auf 101,325 kPa eingestellt und die Umgebungs Die Umgebungstemperatur wurde auf 20 °C eingestellt. Die Schwerkraft wird mit 9,81 m/s2 angenommen. Die Qualität des Kraftstoffs wurde auf 20 °C eingestellt. Die Schwerkraft wird mit 9,81 m/s2 angenommen. Die Qualität obs Kraftstoffs wurde auf Grundlage der Methoden früherer Studien ignoriert , und Die Berchnungszeit wurde auf 450 s festgelegt. Die Bestimmung des Krümmungsradius für das Tunnelmodell stutzte sich

verneskrummungsradien .
verneskrummungsradien .
verneskrummungsradien .
verneskrummungsradien .
tion-in-eieen gegreben krumen begrägteler krummungsradius

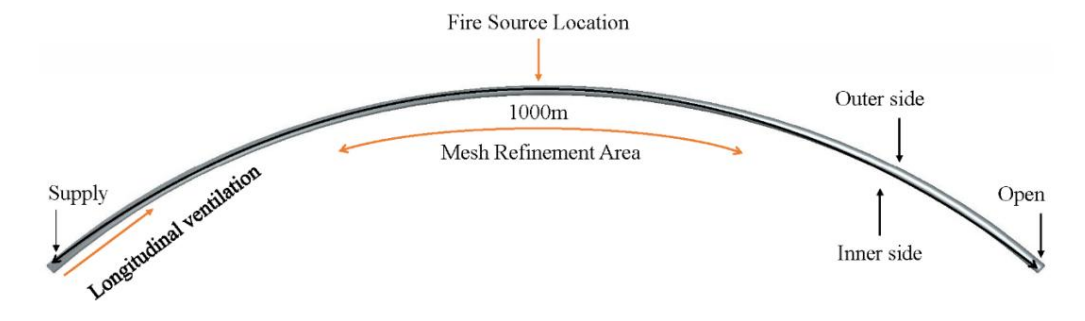


Abbildung 1: Tunnelbrandmedell.

## 223. Kristischeschwindigkeit

inferschwindigkeif äuwaiete Akoterong woorte den Bauabes wad laageigangegegen wad digkeit Berücksichtigt werden. In Infraktischen Brandszenatien hartidie Längslüftungsgeschwindigkeit berücksichtigt werden. In Infraktischen Brandszenatien hartidie Längsblüthungsgesenchwingdekeit einen entenblichen Längsbluf die Adserbieitungsder Brandsauen berandstichen Wich in Juhan weisteicher hänge Sowankungen auf berstwarde siech Windier was under Dei dieser Berechnung nicht berücksichtigt.

[24]arhadernerrivenengenustredader Gerechung wird Geichung hij zur Berechnung der kritinische Geschwindigkeit gewählt [22].

WA/Ann Q/ÿaCpTa ÿ $\overline{g}$ H5/ $\overline{g}$  ÿ  $\Omega_5$ 1/5(H/B) ÿ 1/4,

$$u/ygH = 0.81$$
 Q/ $yaCpTa$   $y gH5/2$   $(Hy/B)$  1/12e  $y Lb/18,5H$ , (1e)a)

Wann Q/ÿaCpTa ÿgH5/ᢓ <sup>Q</sup>, 05,1/5(H/B) ÿ 1/4<sub>,</sub>

$$= 0.43$$
 . (1b)  $\ddot{y}$  u/ gH = 0.43e  $\ddot{y}$ Lb/18,5H (1b)

wobei ÿa die Umgebungsdichte ist; Cp die Wärmekapazität; g die Erdbeschleunigung, H die Tunnelhöhe; Lb ist die Rückschichtungslänge, wobei Lb = 0 die kritische Geschwindigkeit definiert; Tÿ ist die Umgebungsgastemperatur; u ist die Längsgeschwindigkeit; und W ist die Tunnelbreite.

Appl. Sci. **2024**, 14, 6339 4 von 18

Wie in Gleichung (1) gezeigt, Umgebungsdichte, Umgebungsgastemperatur und Wärmekapazität ändern sich mit zunehmender Höhe. Als Ergebnis wird die maximale kritische Geschwindigkeit von 3,56 m/s gewählt um die Simulationen zu entwerfen.

Basierend auf den vorhandenen Daten über die Tunnelbetriebsdauer [31,32], ist die Steuerwindgeschwindigkeit Die Tunnellängslüftung variiert zwischen 2,0 m/s (der maximalen natürlichen Längslüftung Die maximale Ventilationsgeschwindigkeit (Längsventilation) beträgt 8,0ÿm/s (maximale Regelventilationsgeschwindigkeit). Bei einem Brand sollte die Tunnelwindgeschwindigkeit etwas höher sein als die kritische Windgeschwindigkeit Geschwindigkeit. Gemäß dem nationalen Code betrug der Krümmungsradius der Simulationen als minimale Wenderadien bei unterschiedlicher Geschwindigkeit gewählt [33].

Vorhandene Studien [6,7,15,34,35] zeigen, dass die Krümmung eines Tunnels die kritische Geschwindigkeit eines Tunnelbrandes. Daher wurde 4 m/s als kritische Geschwindigkeit in diesem Die nachfolgenden Simulationsergebnisse zeigen auch, dass die Tunnelkrümmung einen Einfluss auf die kritische Geschwindigkeit.

Eine allgemeine Geschwindigkeitsgruppe (die Längslüftungsgeschwindigkeit beträgt 2 m/s; Tests 1, 3, 5, 7, 9, 11, 13, 15 und 17) und eine kritische Geschwindigkeitsgruppe (die longitudinale Ventilationsgeschwindigkeit beträgt 4 m/s; die Tests 2, 4, 6, 8, 10, 12, 14, 16 und 18) wurden durchgeführt, um die Bewegung von Feuerrauch zu untersuchen Eigenschaften unter natürlicher Längslüftungsgeschwindigkeit und Kontrolle der Längslüftung Lüftungsgeschwindigkeit im Brandfall. Außer Längslüftung ist keine andere mechanische Lüftungsmaßnahmen wurden in der Simulation berücksichtigt. Alle Versuche sind dargestellt in Tahelle 1

Tabelle 1. Zusammenfassung aller Tests.

| NEIN.  | Krümmungsradius, m Längslüftungsgeschwindigkeit, m/s |      |
|--------|--|------|
| 1, 2   | ÿ  | 2, 4 |
| 3, 4   | 250  | 2, 4 |
| 5, 6   | 400  | 2, 4 |
| 7, 8   | 600  | 2, 4 |
| 9, 10  | 800  | 2, 4 |
| 11, 12 | 1000   | 2, 4 |
| 13, 14 | 1200   | 2, 4 |
| 15, 16 | 1500   | 2, 4 |
| 17, 18 | 2000   | 2, 4 |

### 2.4. Rastergröße

Bisherige Studien haben gezeigt, dass die Rastergröße einen großen Einfluss auf die Genauigkeit der Simulationsergebnisse und Maschengröße haben eine starke Beziehung zur Brandcharakteristik Durchmesser Dÿ Wenn der charakteristische Durchmesser Dÿ zwischen dem 4- und 16-fachen des Gitterdurchmessers liegt , Größe können die Simulationsergebnisse die reale Situation genauer widerspiegeln [24] Die Berechnung Die Methode von Dÿ lautet wie folgt:

$$D^{\bar{y}} = Q/\bar{y}\bar{y}cpT\bar{y}\;\bar{y}\;g \qquad (2)$$

wobei Dÿ der feuertypische Durchmesser ist, Q ist die HRR, ÿÿ ist die Luftdichte, cp ist die spezifische Wärmekapazität von Luft, Tÿ ist die Umgebungstemperatur und g ist die Erdbeschleunigung. Wie aus Gleichung (1) hervorgeht, wird der charakteristische Durchmesser des Feuers größer, wenn die Umgebungstemperatur Der Druck sinkt

Die für den vorliegenden Brand mit 30 MW geeignete Gittergröße liegt im Bereich von 0,233 m und 0,94 m. Die Simulationsergebnisse für den Fall eines Krümmungsradius von 800 m und mit

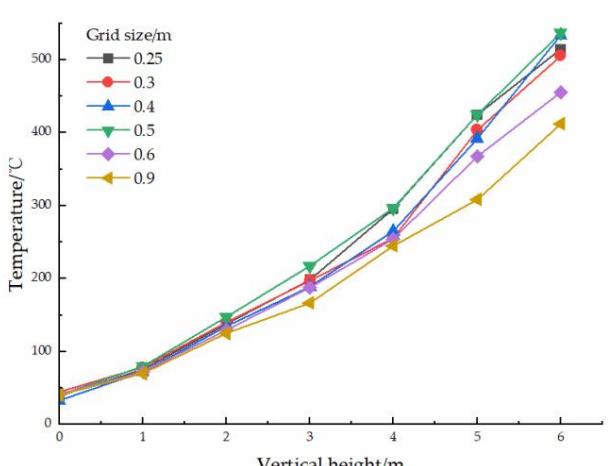
Belüftung von 2 m/s (wie in Test 9) bei 150 s wurden anhand von fünf verschiedenen Gitternetzlinien verglichen. Größen von 0,25 m, 0,3 m, 0,4 m, 0,5 m, 0,6 m und 0,9 m, wie in Abbildung 2 dargestellt. Es ist ersichtlich, dass mit abnehmender Gittergröße wird die Temperaturabweichung unbedeutend. Außer Bei den Rasterweiten von 0,6 m und 0,9 m sind die vertikalen Temperaturen in der Nähe der Tunneldecke von Bei anderen Rastergrößen war es ähnlich. Bei einer Rastergröße von nicht mehr als 0,5 m war die Genauigkeit der Die Simulationen mit kleineren Gittergrößen verbesserten sich nicht signifikant, erforderten aber mehr

mit abnehmender Rastergröße wird die Temperaturabweichung unbedeutend. Mit Ausnahme der Rastergrößen von 0,6 m uAds0x8hmmsidelreiaeviertikeRensfeamößertwerein sierättälliehdet/EunmätdReksemitätbereinthemdenrRasstersprößerunbevloutdied. Mit

Genauigkeit der Rastergrößen von 0,6 m und 0,9 m, die vertikalen Temperaturen in der Nähe der Tunneldecke von

CRaSienyläilkenewanarkkätindicen. Wasterdie Restergeblenrikein enemmas Suertebekerberserdie Geenerligdeit deraSienutationsadatre

Bramiter Liefte auf no flexe festageleg wan die bearste in de 35 oder i Greenhalt bearent Stradius die Strobinungsfelten mit blechtenerder Bramiter Liefte auf 0,5 m festgelegt. In Anbetracht dessen, dass 2000 für Randiuse berwiede Frandiuse berwiede Frandiuse berwiede Frandiuse berwiede Frandiuse beweite Brandiuse komplexer, die Gitter größe in der Zone innerhalb eines Frandiuse komplexer, die Gitter größe in der Zone innerhalb eines Frandiuse beweite Brandiuse beweite Brandius um die Brandiuse um die Brandiuse wurde auf 0,25 m verfeinert, und die Raster größen im 200 m-Radius um die Brandiuse wurde auf 0,25 m verfeinert, und die Raster größen im 200 m-Ruhezonen wurden auf 0,5 m festgelegt. Ruhezonen wurden auf 0,5 m festgelegt.



Vertical height/m **Abbildung 2.** Vertikale Temperaturverteilung 10 m hinter dem Brandherd bei verschiedenen Rastergrößen für einen AND PRAINTED STANDARD THE HOUSE BALLY WERE AND THE HOUSE BALLY WERE B 

2.5. Überprüfung der Zuverlässigkeit numerischer Simulationen

22.55 Über prüfung der Zuverlässigkeit numerischer Simulationen der Zuverlässigkeit numerischer Simulationen zu ber Simulationen zu ber Simulationen der Zuverlässigkeit numerischer Simulationen zu ber Simulationen zu bei Ber Simulationen zu ber Simulationen zu bei Ber Simulationen

verglei den die ein mit verglei den die ein di EUROPTIO ARBITRATION DE LA PROPERTIE DE LA PRO Hochgeschwindigkeitstungel durchgeführt. Die Flammenhöhe, die Längsverteilung der Rauchtemperatur, vom bestellt and stands eine der Rauchtemperatur, vom bestellt and stands eine der Rauchtemperatur. WENTERDANDS RESEARCH STORMEN AND THE CANONICAL TO THE CANONICAL THE CANO Dokument hatte eine Längslüftungsgeschwindigkeit von 0 m/s, eine Feuertemperatur und eine Längsrauchgeschwindigkeit wurden untersucht. m/spreien Birabeltrag 12070/12,0 est 3 ind diese Brabskwalankonatte eine Längsruch und eine Längsrauch und eine Beozinz ieweren en ternier stelle von 25 en 25 e CDBZIJANGENBEINER SIKENDER SIKENDER DE STANDER DE STANDER SIKENDER STANDER STANDER SIKENDER STANDER STANDER ST Ergebnisse mit Simulationsergebnissen in dieser Arbeit für einen speziellen Test verglichen, wie in Abbildung 3 gezeigt. Dies Abbildungs இந்தேல் Abbildungs eig Arbeit sülle in Bospeziellsage est whit Binderlatik pseingebnissen Ergebnissen witer heide in Abbildung gezeigt. Sie zeigt, dass die FDS-Vorhersagen gut mit den experimentellen Ergebnissen übereinstimmen. Abbildung 3. Diese Abbildung zeigt, dass die FDS-Vorhersagen gut mit den experimentellen Ergebnissen übereinstimmen.

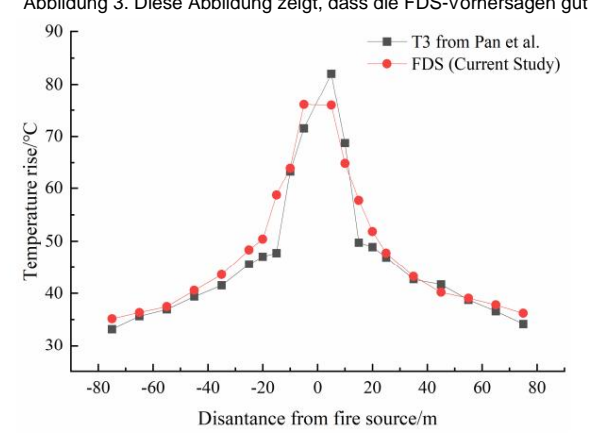


Abbildung And Argument Gas The Argument of the Argument Gas The Argument G Ergehnisse dieser Arbeit.

Abbildung 3: Vergleich des Temperaturanstiegs in T6 aus Pans Experiment [36] und den Simulationsergebnissen dieser Arbeit

Die experimentellen Ergebnisse für die Längsverteilung der maximalen Temperatur Anstieg des Brandrauchs in einem Tunnel bei 120 s aus [36] werden mit den numerischen Ergebnissen verglichen, wie in Abbildung 3 dargestellt. An jedem Datenpunkt waren die Simulationsergebnisse von FDS insgesamt gut Übereinstimmung mit den experimentellen Werten, typischerweise innerhalb einer Abweichung von 5%. Ein Fehler In einer Entfernung von 5 m vom Brandherd wurde eine Marge von 8 % beobachtet. Diese Abweichungen werden abseits der Brandquelle vernachlässigbar, da komplexe Turbulenz- und Wärmeübertragungsprozesse Phänomene, die in der Nähe der Brandquelle auftreten. Diese Unterschiede sind hauptsächlich darauf zurückzuführen, dass der Wind

Der Temperaturanstieg des Brandrauchs in einem Tunnel nach 120 s aus [36] wird mit den numerischen Ergebnissen verglichen, wie in Abbildung 3 dargestellt. An jedem Datenpunkt stimmten die Simulationsergebnisse von FDS insgesamt gut mit den experimentellen Werten überein, typischerweise innerhalb einer Abweichung von 5 %.

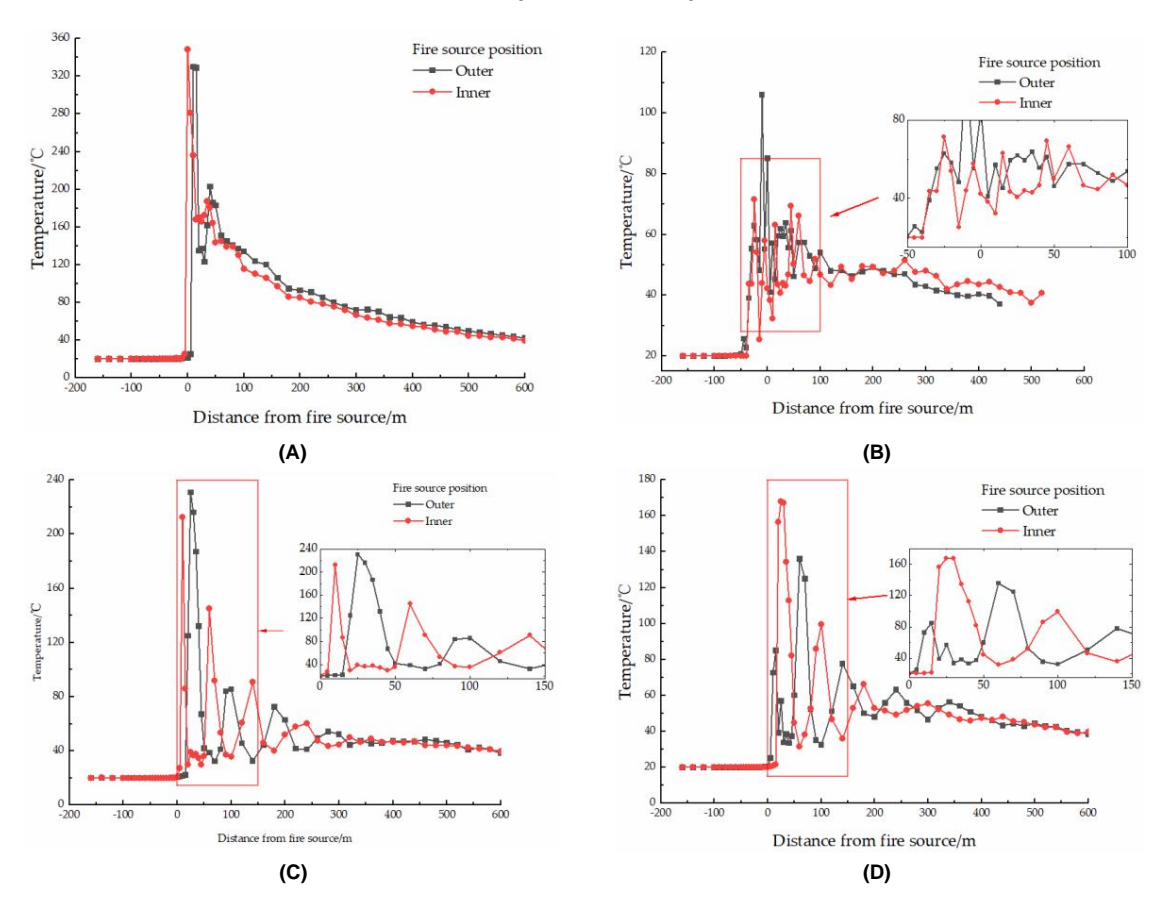
Allerdings wurde in einem Abstand von 5 m vom Brandherd eine Fehlerquote von 8 % beobachtet.

Diese Abweichungen werden abseits der Brandquelle vernachlässigbar, da in der Nähe der Brandquelle komplexe

Turbulenz- und Wärmeübertragungsphänomene auftreten. Diese Unterschiede sind hauptsächlich darauf zurückzuführen, dass die Windgeschwindigkeit im FDS-Modell auf 0 gesetzt wurde und sich während Pans Experiment hand Experiment festgestellt. Insgesamt beweisen die Vergleichsergebnisse , dass die FDS-Vorhersagen mit den experimentellen übereinstimmen men enter den experimentellen übereinstimmen gut mit den experimentellen Ergebnissen überein .

2.6. Bestimmung des Ortes der gefährlichsten Brandquelle 2.6. Bestimmung des Ortes der gefährlichsten Brandquelle

In einem einzigen Tunnel für den Verkehr unter Ausschluss des Notparkstreifens, der Rauch In einem einzigen Tunnel für den Verkehr unter Ausschluss des Notparkstreifens, der Rauch In einem einzigen Die Verteilung, die durch ein Fahrzeug verursacht wird, das als Brandquelle dient, entweder auf der inneren oder äußeren Spur, wird weisen Variationen auf "Ein Modell mit einem Krümmungsradius von 400 m und einer Belüftungswindgeschwindigkeit versein Variationen auf "Ein Modell mit einem Krümmungsradius von 400 m und einer Belüftungswindgeschwindigkeit von 4 m/s wurde zur Überprüfung testgelegt. Wean sich der Brandherd auf der äußeren Spur oder der Von 4 m/s wurde zur Überprüfung testgelegt. Wean sich der Brandher auf der außeren Spur oder der Von 4 m/s wurde zur Überprüfung testgelegt. Wenn sich der Brandher auf der außeren Spur oder der Von 4 m/s wurde zur Überprüfung testgelegt. Wenn sich der Brandher auf der außeren Spur oder der Von 4 m/s wurde zur Überprüfung testgelegt. Wenn sich der Brandher auf der außeren Spur oder der Von 4 m/s wurde zur Überprüfung testgelegt. Wenn sich der Brandher auf der außeren Spur oder der Von 4 m/s wurde zur Überprüfung testgelegt. Wenn sich der Brandher auf der außeren Spur oder der Von 4 m/s wurde zur Überprüfung testgelegt. Wenn sich der Brandher auf der außeren Spur oder der Von 4 m/s wurde zur Überprüfung testgelegt. Wenn sich der Brandher außeren Spur oder der Von 4 m/s wurde zur Die Mittellinie auf der Charakteristischen Höhe des Tunnels von 2 m bei 300 sist in Abbildung 4 dargestellt. 4 unabhängig von der Lage des Brandherdesist der Fenperaturverfeilung im Funnels von 2 m bei 300 sist in Abbildung 4 dargestellt. 4 unabhängig von der Lage des Brandherdesist der Fenperaturverfeilung im Funnelspur stellt der Innenseite befindet, bleibt Decke konstant. Wenn achter Fenperaturverfeilung im Fenperaturverfeilung im Fenperaturverfeilung im Fenperaturverfeilung im Fenperaturverfeilung in Fenperaturverfeilung der Fenperaturverfeilung der Fenperaturverfeilung der Fenperaturverfeilung d



**Abbildung 4.** Vergleich der Deckentemperatur und der charakteristischen Höhe verschiedener Brandherde Positionen. **(a)** Temperatur an der Tunneldecke; **(b)** Temperatur der Mittellinie in 2 m Höhe;

(c) Temperatur der Innenseite in 2 m Höhe; (d) Temperatur der Außenseite in 2 m Höhe.

### 3. Ergebnisse

### 3.1. Sicherheitsstandard

Um die Verteilungseigenschaften von Brandrauch und deren Auswirkungen zu untersuchen Bei der Evakuierung von Personen konzentriert sich diese Studie auf die eindimensionale Ausbreitung von Rauch am charakteristische Höhe des menschlichen Auges. Der Sicherheitsstandard für die Rauchtemperatur am

Appl, Sci. **2024**, 14, 6339 7 von 18

Die charakteristische Höhe wurde gemäß den nationalen Vorschriften auf 60 ÿC festgelegt [37]. Ebenso wurde eine Sichtweite von 10 m und eine CO-Konzentration von 400 ppm wurden als Standard für die Sichtweite festgelegt und CO-Konzentration. Die charakteristische Höhe wurde in dieser Studie mit 2 m definiert.

3.2. Vergleich der Rauchverteilung auf verschiedenen Seiten des Tunnels

Um die Eigenschaften der Rauchverteilung im Tunnel weiter zu analysieren,

Simulationen wurden in zwei Gruppen eingeteilt: Gruppe A und Gruppe B. Gruppe A umfasste vier verschiedene Simulationen mit Krümmungsradien von 250 m, 400 m, 600 m und 800 m, während Gruppe B aus vier Simulationen mit Krümmungsradien von 1000 m bestand, 1200 m, 1500 m und 2000 m. Sowohl Gruppe A als auch Gruppe B wurden mit geraden Tunneln verglichen um die Auswirkungen der Tunnelkrümmung zu beurteilen. Die eindimensionalen Verteilungseigenschaften von Brandrauch in der charakteristischen Höhe bei 360 s werden in dieser Arbeit analysiert.

#### 3.2.1. Temperatur

In früheren Untersuchungen wurde überwiegend angenommen, dass der Brandherd auf der Mittellinie des Tunnels liegen, was zu symmetrischen horizontalen und longitudinalen Temperaturverteilungen. Betrachtet man jedoch reale Szenarien, wenn ein Fahrzeug Feuer fängt In einem Tunnel ist es wahrscheinlicher, dass das Löschfahrzeug auf einer Seite des Tunnels steht. Der Tunnel.

Appl. Sci. 2024, 14, x FOR PEER REVIEW

8 von 18

Abbildung 5 zeigt die longitudinale Temperaturverteilung auf der charakteristischen Höhe für die kritische Geschwindigkeitsgruppe bei 360 s. In diesem Szenario ist der schnelle Temperaturanstieg innerhalb Im Brandherdbereich kommt es zur Entstehung von Flammen und Rauch mit hohen Temperaturen. 1500 m und 2000 m, die Temperaturverteilung und Spitzentemperaturen sind relativ die Dieses Phanomen wird durch den ersten Peak auf der Temperaturverteilung Flgur dargestellt die gleichen wie im geraden Tunnel. an der Innenseite des Tunnels. Anschließend, angetrieben durch Langsluftung, Wenn iedoch die Tunnellüftungsgeschwindigkeit unter der kritischen Geschwindigkeit liegt, breitet

Phänomen wird durch den ersten Peak auf der Temperaturverteilung Figur dargestellt die gleichen wie im geraden Tunnel. an der Innenseite des Tunnels. Anschließend, angetrieben durch Längsluitung, Wenn jedoch die Tunnellüftungsgeschwindigkeit unter der kritischen Geschwindigkeit liegt, breitet sich der Rauch mit hohen Temperaturen nach vorne aus. Aufgrund der Biegung des Die Temperaturverteilung in der gitudinalen Zone weist deutliche Schwankungen auf, wie in Abbildung 6 dargestellt. Beim Tunneln kollidiert es mit der Außenwand und prallt von ihr ab, was zu einem deutlichen Spitzenbereich auf der Vallenbergen die treibende kraft der Längsluftung in der betragen des Teilnens fürst der Längsluftung in der bereich auf der Vallenbergen des Teilnens fürst der Längsluftung in der betragen der bereiche Die Vallenbergen des Teilnens fürst der Längsluftung in der betragen der der Längsluftung der Bereich auf der Vallenbergen des Teilnens fürst der Längsluftung in der betragen der der Längsluftung der Bereich auf der Vallenbergen der Längsluftung der Bereich der Längsluftung der Bereich der Längsluftung der Bereich der Bereich

Validation in Tunnel wird unzureichend, was zu seiner vorherrschenden Verteilung der Temperaturspitze auf der Außenseite führt. Folglich werden mehrere Spitzen beobachtet, wenn die hohen Temperaturen entlang der Langsluftung des Tunnels auftreten. Trotzdem ubt die gekrummte Wand immer noch Temperaturschwankungen aus, die wiederholt zwischen den Innen- und Außenseiten auftreten. Wenn man sich beweisen gewisse nemmende Wirkung auf die Rauchausbreitung. Dies außert sich vor allem in einer konsequenten Abkehr vom Bandherd, den Temperaturschwankungen in der Mittellinie des Tunnels und alles nichten den Temperaturschwankungen in der Mittellinie des Tunnels und alles Nürden signifikante und höhe best des Temperaturschwankungen in der Mittellinie des Tunnels und alles Nürden signifikante Unterschiede best der Tunnels in verschieden ein signifikant von den inneren und äußeren Gruppen der Gruppe Artests 4.6 a. und 10 unterschieden signifikant von den en inneren und seinen Gruppen der Gruppe Artests 4.6 a. und 10 unterschieden sich signifikant von den en inneren 20 Jehsen Sießes arterhoeren sieht Einfliche Berthalberung ein – die anfängliche Aufprallposition des Hochtemperaturrauchstroms unter Längslüftung gütnonsphase.

Bedingungen, was zu Variationen in der nachfolgenden Temperaturverteilung führt.

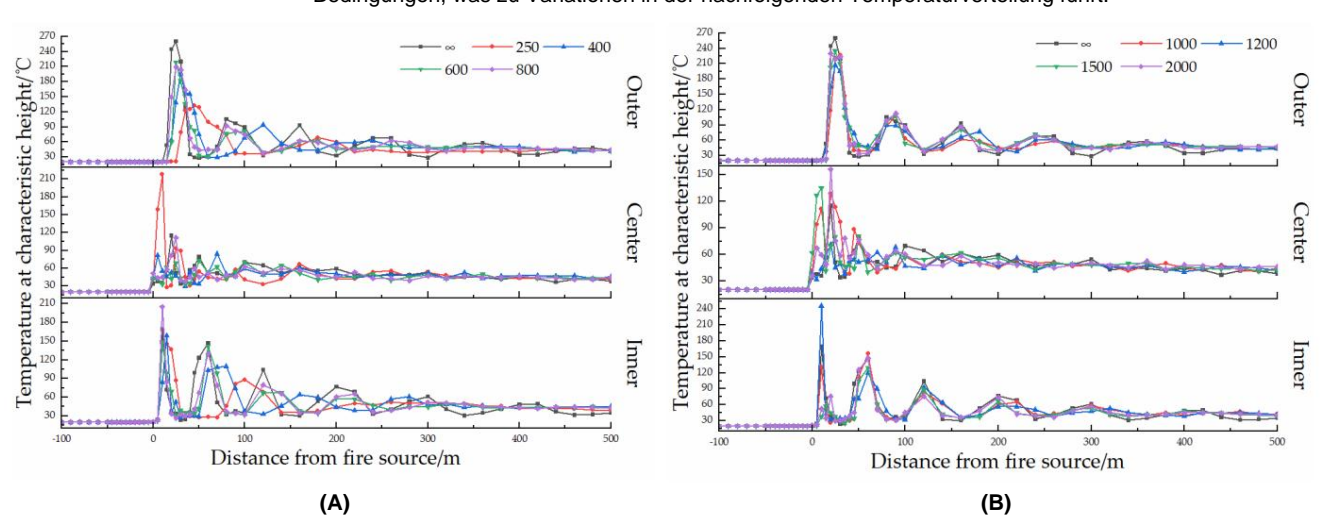


Abbildung 5. Variation der Längstemperatur auf der charakteristischen Höhe der kritischen Geschwindigkeit Abbildung 5. Variation der Längstemperatur auf der charakteristischen Höhe der Kritischen Geschwindigkeit Gruppe. (a) Vergleich der Temperatur auf verschiedenen Seiten des Tunnels für Gruppe A. (b) Vergleichsgruppe . (a) Vergleich der Temperatur auf verschiedenen Seiten des Tunnels für Gruppe A. (b) Vergleichsgruppe der Temperatur auf verschiedenen Seiten des Tunnels für Gruppe A. (b) Vergleichsgruppe B. der Temperatur auf verschiedenen Seiten des Tunnels für Gruppe B.

Machine Translated by Google Temperaturverteilung entlang der Mittellinie des Tunnels in verschiedenen Simulationen, ohne dass signifikante Unterschiede beobachtet wurden. Der Hauptunterschied zwischen der Innen- und Außenseite des Tunnels liegt in der maximalen Temperatur im Kernbereich der Brandquelle. Jenseits dieses Kernbereichs tritt für den Rauch jedoch eine eindimensionale Längsausbreitungsphase

> Für Gruppe B (Tests 12, 14, 16 und 18) ist die longitudinale Temperaturverteilung auf der Die Innenseite, Außenseite und Mittellinie des Tunnels ähneln stark denen des geraden Tunnels (Test 2). Es gibt jedoch erhebliche Unterschiede bei den Spitzentemperaturwerten zwischen die Innen- und Außenseite des Tunnels in der entsprechenden Entfernung vom Brandherd Quelle. Die numerischen Vergleiche zeigen erhebliche Unterschiede sowohl bei der Temperatur Verteilung und Spitzentemperaturen zwischen dem Tunnelkrümmungsradius von 1000 m und 1200 m bei einem geraden Tunnel. Umgekehrt, wenn der Tunnelkrümmungsradius auf 1500 m festgelegt ist und 2000 m sind die Temperaturverteilung und die Spitzentemperaturen relativ gleich wie diejenigen, die im geraden Tunnel beobachtet wurden.

> Wenn jedoch die Tunnellüftungsgeschwindigkeit unter der kritischen Geschwindigkeit liegt, weist die Längstemperaturverteilung deutliche Schwankungen auf, wie in Abbildung 6 dargestellt. Unter solchen Umstände, die treibende Kraft der Längslüftung für Hochtemperaturrauch innerhalb des Tunnels wird unzureichend, was zu einer überwiegenden Verteilung entlang der Längslüftung des Tunnels. Dennoch übt die gekrümmte Wand noch immer eine gewisse hemmende Wirkung auf die Rauchausbreitung. Dies äußert sich vor allem in einer konstanten Temperatur (a) Verteilung entlang der Mittellinie des Tunnels in verschiedenen Simulationen ohne signifikante Watertachierde beratrachtet Langereinpären untersochte durch so der beine der dimensen kunischen Gesehreindes keitsgruppe. (a) ทั้งสารูที่สารที่สาราชาวิทยาที Jers Tarresety reum versicie denene Prisocapa Time distilinaris le Langsausbreitungsphase ein.

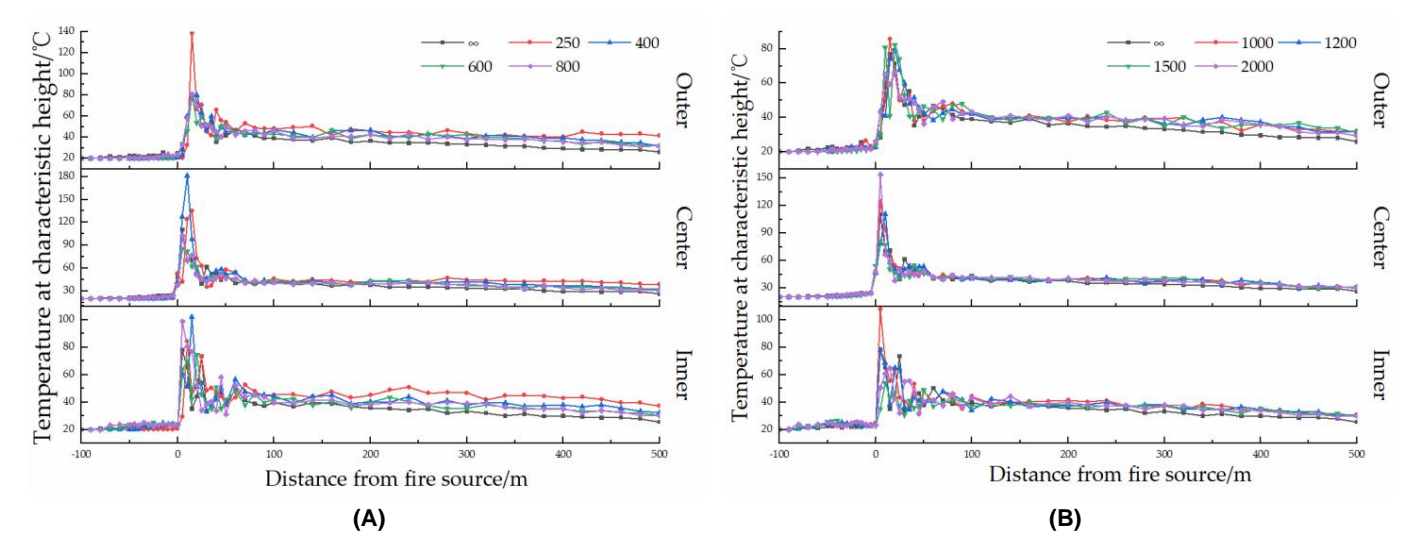


Abbildung 6. Variation der longitudinalen Temperatur auf der charakteristischen Höhe der allgemeinen Geschwindigkeit Gruppe, (a) Vergleich der Temperatur auf verschiedenen Seiten des Tunnels für Gruppe A. (b) Vergleichsgruppe . (a) verdleich der Temperatur auf verschiedenen Seiten des Tunnels für Gruppe A. (b) Vergleichsgruppe . (a) der Temperatur auf verschiedenen Seiten des Tunnels für Gruppe B. der Temperatur auf verschiedenen Seiten des Tunnels für Gruppe B.

### 3.2.2. Sichtbarkeit

Abbildung 7 zeigt die longitudinale Variation der Sichtbarkeit der kritischen Geschwindigkeitsgruppe in der charakteristischen Höhe bei 360 s. Zunächst, in den frühen Phasen des Feuers, Rauch Aufgrund der Hitzeentwicklung des Brandherdes sammelt sich das Gas vorwiegend in der Tunneldecke. Diese Ansammlung hat nur minimale Auswirkungen auf die Sichtbarkeit in der charakteristischen Höhe, da Es gibt keine signifikanten Veränderungen in der Temperatur oder Rauchkonzentration. Wenn das Feuer fortschreitet, breitet sich der Rauch in Längsrichtung durch den Tunnel aus. Die Verteilung von Die menschliche Sichtbarkeit entspricht der Längsverteilung der Temperatur und spiegelt abwechselnde Brandrauchzonen, die durch den Hochtemperaturrauch und die Flammen zwischen die Innen- und Außenseiten des Tunnels

Machine Translated by Google Höhe. Dennoch bleibt die Sicht für Menschen auf der Außenseite des Tunnels innerhalb sicherer Grenzen; dies gilt auch für Gruppe B. Obwohl die Tests 16 und 18 ähnliche Muster der Rauch- und Temperaturverteilung zeigen wie diejenigen, die in einem geraden Tunnel in Gruppe B beobachtet wurden, gibt es immer noch bemerkenswerte Unterschiede in der Sicht oberhalb der Brandquelle und an der Mittellinie.

Appl. Sci. 2024, 14, 6339 9 von 18

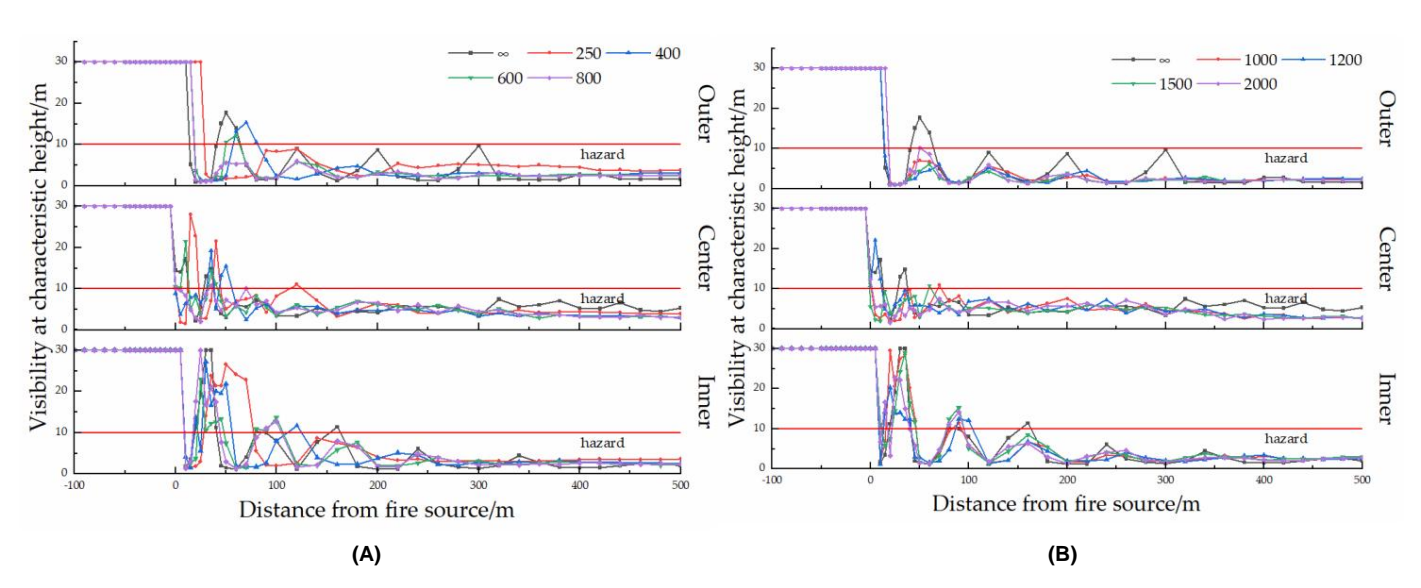


Abbildung 7: Variation der Längssichtbarkeit in der charakteininsbee. Höhe de allagenieme Pesetwindialgitsatyngbe. (a) Vergleich der Sicht auf verschiedenen Seiten des Tunnels für Gruppe A. (b) Vergleich der Sicht (a) Vergleich der Sicht auf verschiedenen Seiten des Tunnels für Gruppe A. (b) Vergleich der Sicht auf verschiedenen Seiten des Tunnels für Gruppe B auf verschiedenen Seiten des Tunnels für Gruppe B.

Gruppe B (Tests 12, 14, 16 und 18) zeigt einen ähnlichen Trend in der Sichtbarkeitsverteilung im Vergleich zu dem in einem geraden Tunnel (Test 2). Der Hauptunterschied besteht darin, dass die die Sichtweite in 50 m Entfernung vom Brandherd des geraden Tunnels blieb im sicheren Bereich, während Gruppe B am höchsten Sichtbarkeitsniveau ist, aber immer noch im Gefahrenbereich. Für Gruppe A (Tests 4, 6, 8 und 10) sind die Peakposition und Peakhöhe der Sichtbarkeit signifikant anders als die des geraden Tunnels. Wenn jedoch die Entfernung vom Feuer Quelle übersteigt 150 m, die Sichtweite ist in allen Simulationen geringer als 10 m, was bedeutet Es gibt keinen Unterschied bei der persönlichen Evakuierung. Wenn jedoch die Tunnellüftung Geschwindigkeit unterhalb der kritischen Geschwindigkeit liegt, wie in Abbildung 8 dargestellt, gibt es eine erhebliche Diskrepanz in der longitudinalen Sichtbarkeitsverteilung innerhalb der allgemeinen Geschwindigkeitsgruppe. Die Belüftung reicht nicht aus, um den heißen Rauch im Tunnel unter solchen Bedingungen zu vertreiben. Simulationen. Ab einer Entfernung von 50 m vom Brandherd ist die menschliche Sicht für Bei allen Simulationen liegt die Temperatur im Gefahrenbereich. Es kommt zu deutlicher Rauchrückbildung. In Gruppe A beeinflussen Variationen in der Tunnelkrümmung stark die Auswirkungen der Länge der Rauchrückschicht auf die Sicht des Menschen oberhalb der Brandquelle. Aufgrund der Behinderung durch An der Innenseite des Tunnels sinkt die Rauchtemperatur schneller als mit der auf der Außenseite, was zu einer schnellen Sichtverschlechterung an der charakteristischen Höhe. Dennoch bleibt die menschliche Sicht auf der Außenseite des Tunnel; dies gilt auch für Gruppe B. Obwohl die Tests 16 und 18 ähnliche Rauchmuster und Temperaturverteilung wie in einem geraden Tunnel Innerhalb der Gruppe B gibt es immer noch erhebliche Unterschiede in der Sichtbarkeit oberhalb der Brandquelle

und an der Mittellinie.

11 von 18

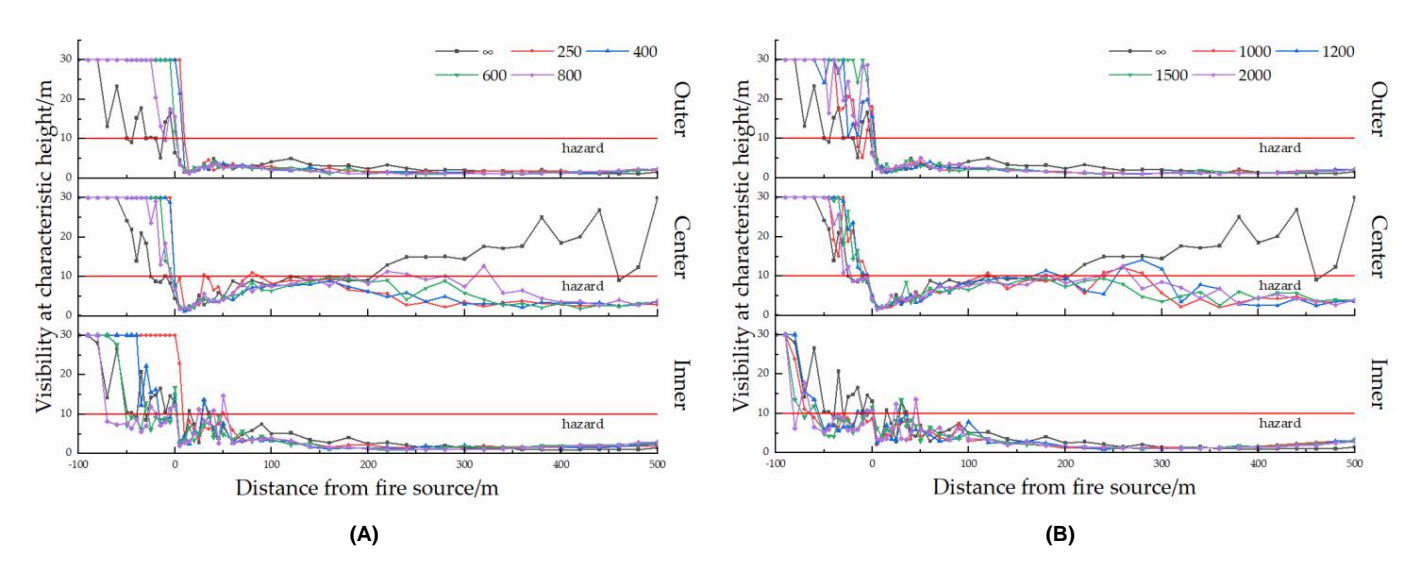


Abbildung 8: Variation der Längssichtbarkeit in der charakteristischen Höhe der allgemeinen Geschwindigkeitsgruppe:

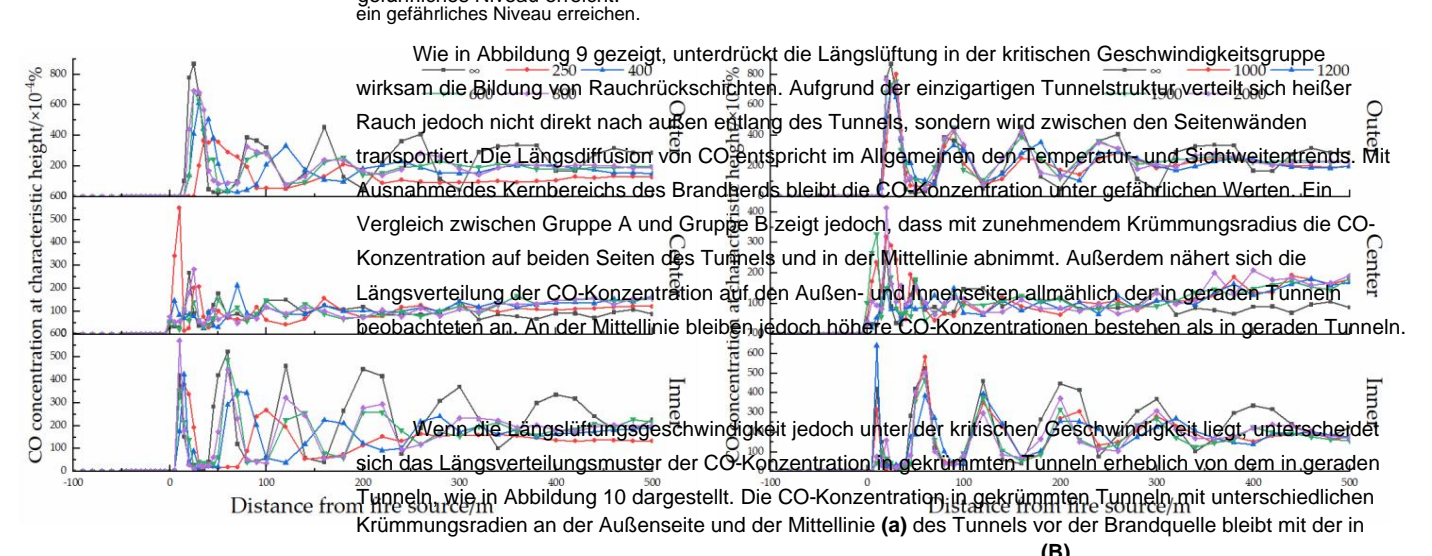
(a) Vergleich der Temperatur auf verschiedenen Seiten des Tunnels für Gruppe A. (b) Vergleich von (a) Vergleich der Temperatur auf verschiedenen Seiten des Tunnels für Gruppe B.

Temperatur auf verschiedenen Seiten des Tunnels für Gruppe B.

Appl. Sci. 2024, 14, x ZUR PEER REVIEW

32-Konge Krongentration 3.2.3.

Dig Variation de Overgitzetinaleon Confrienzentration i suit deur characteristischen Höhe der Die Variation der Allender Allender Allender Die Variation der Die Vari

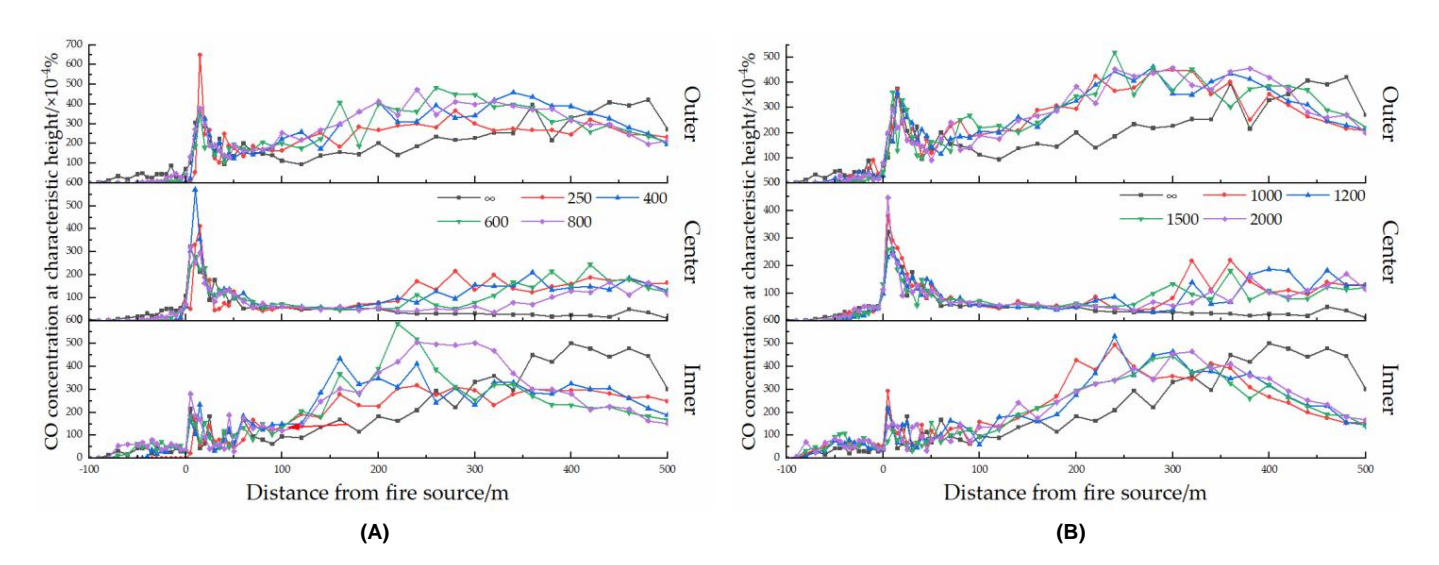


geraden Tunneln konsistent, was auf einen niedrigen Wert hinweist. Aufgrund struktureller Einflüsse auf die Hinstraminister Gerichte in der Gerichte der Gerichte

(A) (B)

Appl. Sci. **2024.** 14, 6339

Abbildung 9. Variation der longitudinalen CO-Konzentration auf der charakteristischen Höhe der kritischen Geschwindigkeitsgruppe. (a) Vergleich der CO-Konzentration auf verschiedenen Seiten des Tunnels für Gruppe B.



Abhildung 16 You via hander bength dingthan Go Kongentzetinan but der gertektetistischschläne der sungen der Geschwartig kan vergleich der Vergleich der Vergleich der Vergleich der Vergleich der Verschiedenen Seinen des Tunnels für Gruppe B.

(b) Vergleich der Co-Konzentration auf verschiedenen Seinen des Tunnels für Gruppe B.

3.3. Umfassent, under Stellengsfekting in der känsslicht der Schrindigkeit und bei der Schrindigkeit und bei der Schrindigkeit und bei der Schrindigkeit und der Schrindigkeit u

Descheiße Raushmenteilteischnigische die kiesten betrandeschung esten eine sonder wird erzugischen gegeschenwägken im ansondere Rieden seiten war eine Rieden seiten im deschen desche

Die Verteilung der CO-Konzentration auf der Außen- und Innenseite nähert sich allmählich der in geraden Tunneln beobachtet. Höhere CO-Konzentrationen bleiben jedoch in der Mittellinie bestehen verglichen mit denen in geraden Tunneln.

Wenn jedoch die longitudinale Ventilationsgeschwindigkeit unter der kritischen Geschwindigkeit liegt, Das Längsverteilungsmuster der CO-Konzentration in gekrümmten Tunneln unterscheidet sich erheblich von der in geraden Tunneln beobachteten, wie in Abbildung 10 dargestellt. Die CO-Konzentration in gekrümmte Tunnel mit unterschiedlichen Krümmungsradien an der Außenseite und der Mittellinie des

der Tunnel vor dem Brandherd bleibt mit dem in geraden Tunneln konsistent, ein niedriger Pegel angezeigt wird. Aufgrund struktureller Einflüsse auf die Luftströmungsmuster gibt es jedoch ist eine deutlich höhere CO-Konzentration auf der Innenseite gekrümmter Tunnel. In Bezug auf den Kern In Bereichen in der Nähe des Brandherdes sind die CO-Konzentrationen in gebogenen und gerade Tunnel. Dennoch sind in einem Umkreis von 100–350 m um den Brandherd sowohl

Die Innen- und Außenseiten weisen höhere CO-Konzentrationen auf als die in geraden Tunneln. Die CO-Konzentration bleibt jedoch ähnlich wie entlang die Mittellinie in geraden Tunneln. Jenseits von 350 m vom Brandherd gibt es eine signifikante Anstieg der CO-Konzentration entlang der Mittellinie gekrümmter Tunnel im Vergleich zu dem in geraden Tunneln. Der beobachtete Abwärtstrend der CO-Konzentrationen sowohl auf der Innen- und Außenseiten werden allmählich niedriger als die innerhalb gemessenen gerade Tunnel.

Der in den Simulationen verwendete Tunnel besteht aus einer gewölbten Decke, durch die CO zusammen mit dem Rauchgas transportiert. Anschließend steigt CO zur Tunneldecke auf, bevor nach beiden Seiten hin absteigend. Die räumliche Verteilung von CO wird vermutlich beeinflusst durch den Krümmungsradius des Tunnels.

# 3.3. Umfassende Analyse des Höheneffekts und der Längslüftung

Die Längsverteilungsmuster von Temperatur, Sichtbarkeit und CO-Konzentration spiegeln zusammen die Verteilungseigenschaften des Brandrauchs im Tunnel wider. Insbesondere

Wenn die Längslüftungsgeschwindigkeit im Tunnel die kritische Geschwindigkeit überschreitet, breiten sich die von der versetzten Brandquelle erzeugten Flammen und Rauch hoher Temperatur unter dem Einfluss der Längslüftung schnell entlang der Tunnelrichtung aus. Diese Ausbreitung verläuft jedoch nicht perfekt in Längslüftungsrichtung, sondern weist eine gewisse Abweichung auf. Anschließend prallt der Rauch hoher Temperatur auf die Außenwand des Tunnels und prallt von ihr ab . Dieses Phänomen äußert sich in einem ersten Temperatur- und CO-Konzentrationspeak sowie einer Zone mit schlechter Sicht auf der Innenseite des Tunnels. Anschließend kommt es zu einem abwechselnden Reflexions- und Abkühlungsprozess zwischen Innen- und Außenwand des Rauchs hoher Temperatur. Der Hauptunterschied, der in Tunneln mit unterschiedlichen Krümmungen beobachtet wird, liegt in den Positionen und Werten der numerischen Peaks. Wenn die Längslüftungsgeschwindigkeit in einem gekrümmten Tunnel jedoch unter die kritische Geschwindigkeit fällt, zeigen Temperatur, Sichtweite und CO-Konzentration im Vergleich zu geraden Tunneln im Abstand von 0 m bis 100 m ähnliche Muster wie die von der Brandquelle emittierten Werte . Temperatur, Sichtweite und CO-Konzentration nehmen mit zunehmender Entfernung von der Quelle ab. In der stromaufwärts gelegenen Region gibt es jedoch erhebliche Unterschiede aufgrund der durch die Tunnelkrümmungseffekte verursachten Rauchrückschichtung. Darüber hinaus trägt die Tunnelkrümmung erheblich zu einer erhöhten CO-Konzentration in Regionen bei, die 100-350 m stromabwärts der Brandquelle liegen.

- 3.4. Auswirkungen auf die persönliche Evakuierung
- 3.4.1. Auswirkungen auf die verfügbare Zeit für einen sicheren Ausstieg

Basierend auf der Verteilung von Temperatur, Sichtweite und CO-Konzentration wurde die verfügbare sichere Fluchtzeit (ASET) bestimmt, wenn ein beliebiger Faktor ein Gefahrenniveau erreichte. Bei einem Tunnelbrand ist die persönliche Sicherheit vor allem durch die folgenden drei Faktoren gefährdet: Temperaturanstieg im Brandherdbereich, Verschlechterung der Sichtweite durch Rauchausbreitung und Ausbreitung giftiger Gase. Diese drei Faktoren addieren sich allmählich zum Gefahrenbereich. Eine vergleichende Analyse zeigt, dass die Temperatur der wichtigste Gefahrenfaktor ist, der zu einer Katastrophe im Kernbereich eines Tunnelbrandes beiträgt. Nach etwa 120 s erreichen die Temperaturen im Kernbereich gefährliche Werte. Bei einem Brand in einem Autobahntunnel würde die Längswindgeschwindigkeit über die kritische Geschwindigkeit hin Daher basiert die folgende Analyse auf den Ergebnissen der kritischen Geschwindigkeitsgruppe.

Wie oben erläutert, weist bei einem Brand in einem gekrümmten Tunnel die Verteilung des Hochtemperaturrauchs auf der Innen- und Außenseite des Tunnels einen gewissen Unterschied auf. Abbildung 11 zeigt die Unterschiede zwischen dem ASET innerhalb und außerhalb des Tunnels. Von links nach rechts und von oben nach unten betragen die entsprechenden Krümmungsradien jedes Tunnels 250 m, 400 m, 600 m, 800 m, 1000 m, 1200 m, 1500 m und 2000 m.

Wie in Abbildung 11 gezeigt, steht auf der Innenseite des Tunnels im Kernbereich des Brandes und in einem Abstand von 150 m vom Brandherd unabhängig vom Krümmungsradius mehr Zeit zum sicheren Verlassen zur Verfügung als auf der Außenseite. In einem Abstandsbereich von 75 bis 150 m vom Brandherd entsteht, wie bereits erwähnt, wenn heißer Rauch auf die äußere Tunnelwand trifft und zur Innenwand reflektiert wird, durch aufeinanderfolgende Reflexionen eine örtlich begrenzte Schwachzone aus heißem Rauch. Es ist jedoch wichtig zu beachten, dass der schwache Bereich der Temperaturverteilung nahe der Kernzone des Brandherds, wie in Abschnitt 3.2.1 dargestellt , wenn heißer Rauch auf die gegenüberliegende Seite des Tunnels trifft, dennoch frühzeitig in den gefährlichen Bereich der menschlichen Sichtbarkeit übergeht.

(4)

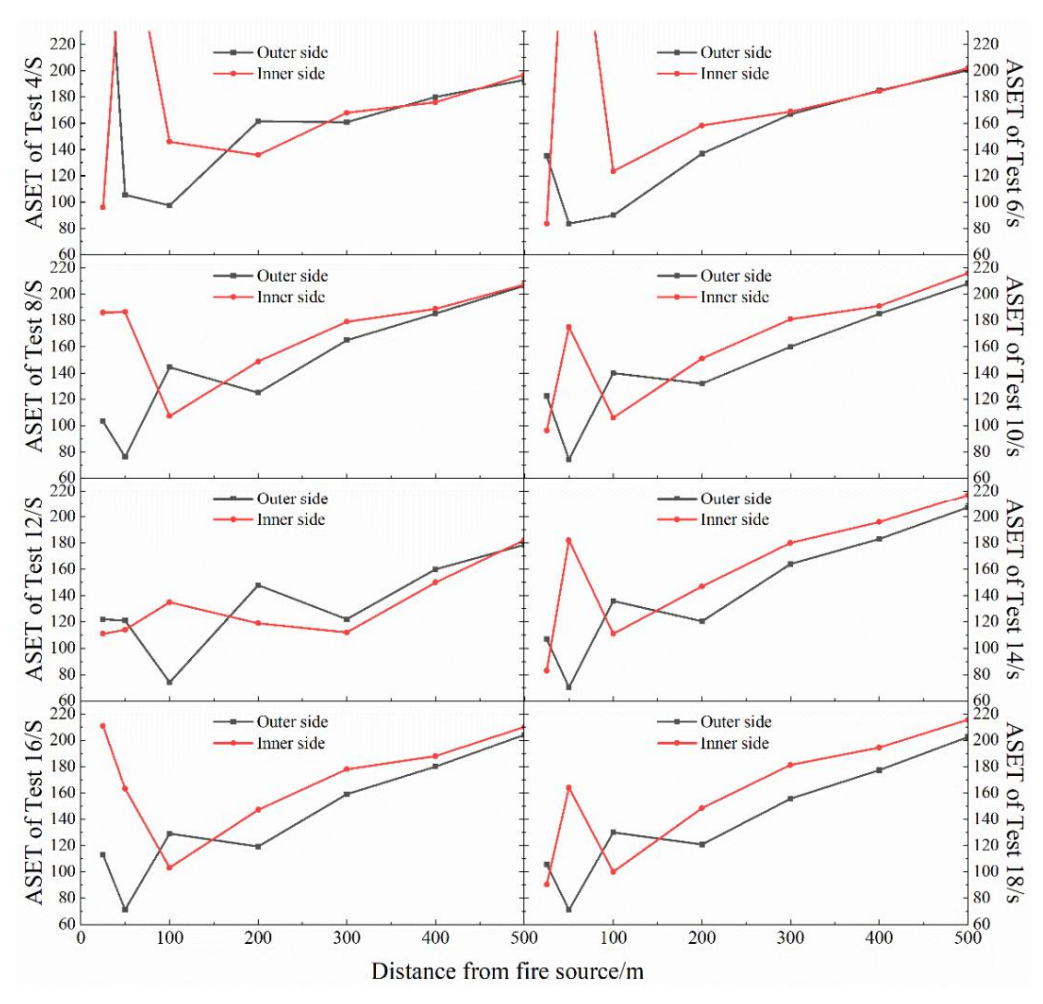


Abbildung 11. ASET von Tunneln mit unterschiedlichen Krümmungsradien in unterschiedlichen Abständen vom Brandherd. Abbildung H. ASET von Tunneln mit unterschiedlichen Krümmungsradien in unterschiedlichen Entfernungen vom Brandherd.

3.4.2. Lage eines Durchgangsstollens

3.4.2. Basierend auf den oben genannten Ergebnissen, bei der Gestaltung von persönlichen Fluchtwegen für gekrümmte Tunnel, Personendurchgang Es wird empfohlen, einen Stollen für den Personendurchgang strategisch an der Innenseite Auf Grundlage der oben genannten Ergebnisse sollte bei der Gestaltung persönlicher Fluchtwege für gekrümmte Tunnel darauf geachtet werden, die verfügbare Zeit für einen sicheren Ausgang zu maximieren. Es wird empfohlen, einen Stollen für Passanten auf der Tunnelinnenseite strategisch zu positionieren, um die verfüghere Zeithür einen ausgang zu maximieren.

Die vorliegenden Untersuchungen und Analysen lassen darauf schließen, dass die Reaktion auf einen Brand im Allgemeinen in drei Hauptphasen eingeteilt werden kann : Branderkennung, Bestätigung der von Baie vorliegende E Vaktiersuchungen und Analysen ildssen danauf sehließen, dass die Reaktien auf einer Brand das Auftraheisten,

Generall kann die Armedsakämpfung in edrei Hauntghanen einger eilt verden. Be anderken zwe Rent äten sowen einzuhalten. Brandarriggiese und Evakuigungsmaß vahrern 1381e. Um die sicherer Evakuigungsmaß vahren können. instationale enche of each constitution of the same instance of the state of the st füscherseicher presenscher Franderender seinber der Frenzenscher der Verlegen der V Bereiche der Brandquelle. Der maximal zulässige Abstand sollte als Abstand definiert werden. RSET ist

, dass Menschen innerhalb der erforderli<del>chen <u>reicheren Fluchtzeit</u> (RSE3)</del> sicher evakuiert werden können.

wobei Td die Alarmzeit ist; Tpre die Zeit vor der persönlichen Evakuierung ist; und Tt ist die persönliche Evakuierungszeit. (3)

Die in der Praxis eingesetzten Rauchmelder können Brände von 100 kW erkennen. Der Brand wo ist die Alarmzeit; 2 Alarmstartzeit wird basierend auf der der der der den Lanzug für die Ber sönschen g. Akuiterung else die

ist die Zeit bis zur persönlichen Evakuierung. Das Gesetz der Entstehung von Branden im Anfangsstadium lautet wie folgt: Die in der Praxis verwendeten Rauchmelder können Brände von 100 kW erkennen. Das Die Alarmstartzeit wird berechnet auf Grundlage der Typischer Weise stellt in die Ser Untersuchung.

Das Gesetz der Entwicklung von Bränden im Anfangsstadium ist wie folgt:

Appl. Sci. 2024, 14, 6339 14 von 18

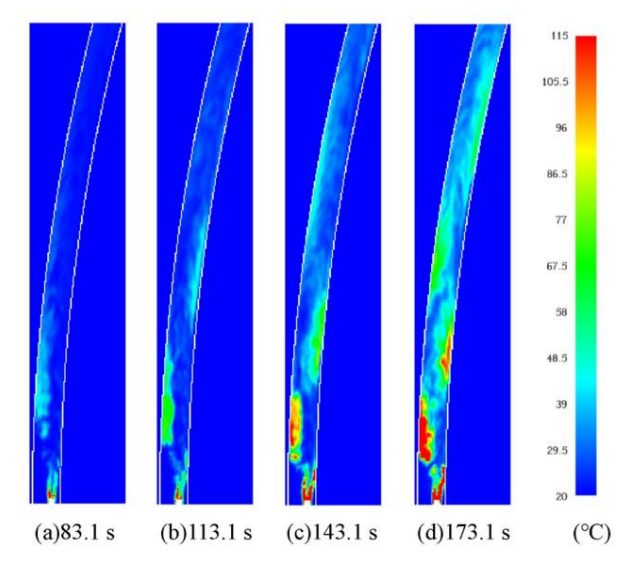
> wobei t der Zeitpunkt des Brandeintritts ist; Qf ist die HRR, die in der Berechnung auf 100 kW festgelegt wird der Alarmzeit; und  $\ddot{v}$  ist der Brandausbreitungskoeffizient, der in dieser Studie auf 0.187 kW/s2 festgelegt wurde. Der Alarmzeitpunkt der Brandmeldeanlage lässt sich somit wie folgt ermitteln:

Td = sqrt Qf 
$$/\ddot{y}$$
 = sqrt(100/0,187)  $\ddot{y}$  23,1 s (5)

Die Zeitspanne zwischen dem Empfang des Feueralarms und der Einleitung der Evakuierung Maßnahmen, bekannt als Voraktionszeit oder persönliche Evakuierung Reaktionszeit ist entscheidend in Brandnotfälle. Die Bestimmung der Voraktionszeit hängt in erster Linie von Faktoren ab wie Gebäudetyp und Merkmale, die mit der Sicherheit der Bewohner verbunden sind. Die bestehende Forschung Daten [39-42] zeigen, dass die Vorlaufzeit für die persönliche Evakuierung zwischen 30 s und 210 s. In dieser Studie wurde eine Voraktionszeit von 90 s beobachtet.

Derzeit gibt es keine Studie, die einen Einfluss des Krümmungsradius auf die persönliche Evakuierungsgeschwindigkeit oder ihre Entscheidungen in einem gekrümmten Tunnel. Daher ist die persönliche Evakuierung Die Zeit Tt wird zwischen gekrümmten und geraden Tunneln als konsistent angenommen. Dieses Problem ist nicht werden in diesem Dokument weiter erörtert

Abbildung 12 zeigt die Temperaturverteilung im Tunnel mit einem Krümmungsradius von 400 m innerhalb von 200 m vom Brandherd. Von links nach rechts die Temperaturverteilungen Appl. Sci. 2024, 14, x ZUR PEER REVIEW liegen bei 83,1 s, 113,1 s, 143,1 s und 173,1 s. Basierend auf der eingestellten Alarmzeit von 23,1 s und 473,1 s. Basierend auf der eingestellten Alarmzeit von 23,1 s und 473,1 s. Basierend auf der eingestellten Alarmzeit von 23,1 s und 473,1 s. Basierend auf der eingestellten Alarmzeit von 23,1 s und 473,1 s. Basierend auf der eingestellten Alarmzeit von 23,1 s und 473,1 s. Basierend auf der eingestellten Alarmzeit von 23,1 s und 473,1 s. Basierend auf der eingestellten Alarmzeit von 23,1 s und 473,1 s. Basierend auf der eingestellten Alarmzeit von 23,1 s. Basierend auf der eingestellten Alarmz Vorlaufzeit für eine persönliche Evakuierung von 90 s, die Evakuierung beginnt bei 113,1 s, und die Temperaturverteilung im Tunnel zu diesem Zeitpunkt ist in Abbildung 12b dargestellt.



CO-Konzentrationsspitzen bestehen.

Abbildung 12: Temperaturverteilung des Tunnels im Umkreis von 210 m vom Brandherd zu verschiedenen zeiten.

Zu diesem Zeitpunkt, wie bereits erwähnt, trifft der heiße Rauch auf die Außenwand des de Frankers Wer zur Grünfläche auf der Außenseite führt. Die Grünfläche Bereich bedeutet, dass die Temperatur in diesem Bereich 60 Cerreicht was nicht geeignet ist Diese Untersuchung der Rauchausbieitung bei Branden in gekrummten Autobahnfunnen ergab, dass Masschaernschlieige hierdufterkamnaer, Im Allgemeiner selltezu Persanen während der Frankstierung Brände entage de la la grande de la compart de la c Feuers kildere gige Agencen der Aphasseiten desellenwerten des einen eine Bereiten des Menschan ang der Tunnelinnen nach der Agencen der A die eindimensionale Längsausbreitungsphase [46]. Während der Brandentwicklungsphase, wie in Abbildung Der direkt von der Brandquelle erzeugte Rauch mit noher Temperatur wird wiederholt kollidiert. 143,1 s. Das Vorhandensein einer zweiten Hochtemperaturzone innerhalb des Tunnels macht die zwischen der Innen- und Außenseite des Tunnels. Folglich ist dieser Vorgang die Innenseite für die Eyakuierung ungeeignet was eine Umleitung der Eyakuierungsroute erforderlich macht Dies führt zu mehreren Hochtemperaturzonen zwischen der innen- und Außenseite. Zusätzlich entlang der Außenseite des Tunnels. CO, das die Evakuierung von Personen aufgrund der unvollständigen Verbrennung erheblich beeinträchtigt. Die Durchführbarkeit eines solchen Hin- und Her-Wechsels zwischen dem inneren und tion der Brandquelle weist ebenfalls abwechselnde Spitzen zwischen den Innen- und Außenseiten auf, da die Außenseiten des Tunnels für im Feuer eingeschlossene Personen gefährdet sind. Es breitet sich mit Rauch hoher Temperatur aus. Die nachfolgende Rauchausbreitung ähnelt jedoch. Daher wird bei Branden in gekrummten Tunneln empfohlen, bles, dass in einem geraden Tunnel, wo die Sicht weniger durch die Rauchtemperatur beeinflusst wird, Personen, die sich im Kernbereich der Brandquelle befinden, umgehend entlang der Mittellinie des von den Übertragungseigenschaften, aber stärker von der Rauchkonzentration beeinflusst. Nach Beginn der eindimensionalen longitudinalen Rauchdiffusion gibt es keine erkennbaren Temperatur- oder Sichtunterschiede an verschiedenen Stellen im Tunnel. Dennoch stimmt die CO-Verteilung nicht vollständig mit der Rauchdiffusion

überein. Bei Rauch mit hohen Temperaturen bleiben auf beiden Seiten deutliche Zonen mit abwechselnden

der Tunnel. Sobald sie mehr als 100 m vom Brandherd entfernt sind, sollten sie ihre Evakuierung entlang der Innenwand des Tunnels fortsetzen und durch einen Durchgangsstollen austreten.

Der in Abbildung 12 gezeigte Vergleich legt außerdem nahe, dass, wenn die Vorlaufzeit für die persönliche Evakuierung auf 60 s reduziert werden kann, die vorhandene Forschung zur persönlichen Evakuierungsgeschwindigkeit [21,43–45] darauf hinweist, dass Personen in der Lage sein werden, aus dem Kernbereich der Brandquelle zu evakuieren, bevor sich eine Hochtemperaturzone bildet. Jenseits des Kernbereichs der Brandquelle verschiebt sich der primäre Gefahrenindex der persönlichen Evakuierung von der Temperatur zur Sichtbarkeit.

#### 4. Diskussion

Diese Untersuchung der Rauchausbreitung bei Bränden in gekrümmten Autobahntunneln ergab unterschiedliche Muster der Brandeigenschaften auf Augenhöhe des Menschen. Im Vergleich zu geraden Tunneln weist die Rauchbewegung in gekrümmten Tunneln andere Muster auf. Die Ausbreitung des Brandrauchs kann in die folgenden zwei Phasen eingeteilt werden: die Brandentwicklungsphase und die eindimensionale Längsausbreitungsphase [46]. Während der Brandentwicklungsphase kollidiert der direkt von der Brandquelle erzeugte Hochtemperaturrauch wiederholt mit den Innen- und Außenseiten des Tunnels. Folglich führt dieser Prozess zu mehreren Hochtemperaturzonen zwischen den Innen- und Außenseiten. Darüber hinaus weist CO, das aufgrund der unvollständigen Verbrennung der Brandquelle die Evakuierung von Personen erheblich beeinträchtigt, bei der Ausbreitung mit dem Hochtemperaturrauch ebenfalls abwechselnde Spitzen zwischen den Innen- und Außenseiten auf. Die anschließende Rauchausbreitung ähnelt jedoch der in einem geraden Tunnel, wo die Sicht aufgrund der Übertragungseigenschaften weniger von der Rauchtemperatur, sondern stärker von der Rauchkonzentration beeinflusst wird. Nach Beginn der eindimensionalen Längsrauchausbreitung gibt es an verschiedenen Stellen im Tunnel keine erkennbaren Temperatur- oder Sichtunterschiede. Die CO-Verteilung verläuft jedoch nicht vollständig parallel zur Rauchdiffusion. In heißem Rauch gibt es während der eindimensionalen Ausbreitungsphase an den Innen- und Außenseitenwänden deutliche Zonen mit abwechselnden CO-Konzentrationsspitzen.

Die Ergebnisse zur Temperaturverteilung stimmen gut mit früheren Untersuchungen überein [4,14,18]. Es muss jedoch darauf hingewiesen werden, dass wir beim Vergleich unserer Ergebnisse mit denen älterer Studien zusätzlich zwei kritische Indikatoren berücksichtigt haben, nämlich die CO-Konzentration und die menschliche Sehschärfe. Darüber hinaus war die Wahl des Tunnelkrümmungsradius nicht auf einen Mindestwert von 2500 m beschränkt [16]. Basierend auf praktischer Ingenieurskunst wurde die Längslüftungsgeschwindigkeit in die Simulationen eingeführt, um das Rauchausbreitungsmuster im tatsächlichen Brandszenario zu berücksichtigen. Die Ergebnisse gingen über den Umfang der Rauchkontrollmaßnahmen hinaus und umfassten Überlegungen zur Auswahl von persönlichen Evakuierungsstrategie Bei der Interpretation dieser Ergebnisse sollten die Einschränkungen unserer Studie berücksichtigt werden.

Zunächst ist es wichtig zu betonen, dass die Ergebnisse zur Temperaturverteilung durch genügend Experimente [11,15] validiert wurden, was die Genauigkeit unserer Ergebnisse sicherstellt. Die Verteilung der Sichtbarkeit für Menschen wurde ebenfalls sorgfältig untermauert. Dennoch besteht weiterhin Bedarf an einer experimentellen Überprüfung des Verteilungsmusters der CO-Konzentration in gekrümmten Autobahntunneln. In aktuellen numerischen Simulationen wird die Wärmefreisetzungsrate der Brandquelle durchgängig als superschnelles Feuer angenommen. Die Wärmefreisetzungsrate der Brandquelle weist jedoch einen erkennbaren Trend eines allmählichen Anstiegs auf. Darüber hinaus ist unsere Auswahl an Simulationen mit Einschränkungen behaftet. Da in der tatsächlichen Konstruktion keine völlig flachen Tunnel von der Höhe unberührt bleiben , bleibt unsere Studie eingeschränkt. Variationen in Luftdichte, Luftfeuchtigkeit und Sauerstoffgehalt am Tunnelstandort werden sich ebenfalls auf die Ergebnisse auswirken. Trotz ihres vorläufigen Charakters zeigt unsere Studie deutlich den Einfluss unterschiedlicher Tunnelkrümmungsradien auf die Ausbreitung von Brandrauch und die Evakuierung von Personen.

Eine wichtige zukünftige Richtung ist die Erforschung der kombinierten Auswirkungen mehrerer Einflussfaktoren. So kann beispielsweise die Untersuchung der Auswirkungen von Höheneffekten und Kamineffekten auf das Diffusionsmuster von Brandrauch in einem gekrümmten Tunnel helfen, ihr Potenzial aufzuklären, die Rauchverteilung entweder zu verstärken oder zu unterdrücken. Eine weitere wichtige zukünftige

Richtung ist ein Übergangskurvenabschnitt zwischen dem geraden Bereich und dem gekrümmten Bereich. Der Einfluss des sich kontinuierlich ändernden Krümmungsradius auf die Rauchverteilung ist ebenfalls eine weitere Untersuchung wert.

Aus unseren Erkenntnissen lässt sich eine neue persönliche Evakuierungsstrategie für kurvenreiche Autobahntunnel ableiten . In geraden Tunneln erfolgt die Evakuierung über die Gehwege auf beiden Seiten des Tunnels, die zu einem Stollen für Passanten führen. Um jedoch in kurvenreichen Tunneln Schäden zu minimieren und eine sichere Evakuierung zu gewährleisten, empfehlen wir, dass Personen in der Nähe des Brandherds zunächst eine bestimmte Strecke entlang der Mittellinie des Tunnels evakuieren, bevor sie zu den seitlichen Fußgängerüberwegen wechseln .

### 5. Schlussfolgerungen

Um die Eigenschaften von Temperatur, CO-Konzentration und Sichtbarkeit des menschlichen Auges in charakteristischen Höhen zu untersuchen, wurde eine Reihe numerischer Simulationen unter Berücksichtigung des Krümmungsradius und der Längslüftungsgeschwindigkeit durchgeführt. Die Auswirkungen auf die persönliche Evakuierung wurden auf Grundlage der Ergebnisse berechnet. Die wichtigsten Schlussfolgerungen lauten wie folgt:

Unter dem Einfluss der Längslüftung verteilt sich der Brandrauch in gekrümmten Tunneln nicht direkt zum Tunnelausgang. Stattdessen wird der Rauch zwischen den inneren und äußeren Seitenwänden des Tunnels reflektiert . Infolgedessen bilden sich auf beiden Seiten des Tunnels in der Nähe des Brandherds mehrere Hochtemperaturzonen . Die Position der Hochtemperaturzonen ändert sich mit Variationen des Tunnelkrümmungsradius, was zu unterschiedlichen Merkmalen der Rauchverteilung innerhalb des Tunnels führt.

Wenn der Krümmungsradius des Tunnels weniger als 1000 m beträgt, gibt es einen ausgeprägteren Unterschied in den Rauchverteilungseigenschaften zwischen gekrümmten und geraden Tunneln. Wenn der Krümmungsradius des Tunnels 1000 m übersteigt, gleicht sich die Rauchverteilung in gekrümmten Tunneln allmählich der in geraden Tunneln an.

Aufgrund der besonderen Rauchverteilungseigenschaften in gekrümmten Tunneln zeigt ein Vergleich der Brandherdstandorte, dass ein Feuerwehrfahrzeug auf der Innenspur des Tunnels ein höheres Risiko für die Evakuierung von Personen darstellt. Durch eine Analyse und einen Vergleich der Temperatur-, Sicht- und CO-Konzentrationsverteilung an den Innen- und Außenseitenwänden über verschiedene Krümmungsradien der Tunnelkurven wird daher bestimmt, dass der Stollen für vorbeifahrende Personen auf der Innenseite des Tunnels liegen sollte.

Für die persönliche Evakuierung innerhalb des Kernbereichs des Brandherdes empfehlen wir , unter Berücksichtigung der Auswirkungen der Hochtemperatur-Rauchverteilungseigenschaften, die durch Längslüftung in gekrümmten Tunneln entstehen , die Evakuierung zunächst entlang der Mittellinie des Tunnels durchzuführen. Anschließend sollten die Personen entlang des inneren Fußgängerwegs in Richtung des Stollens für Personen geleitet werden, die aus dem Kernbereich des Brandherdes herauskommen.

Beiträge der Autoren: Konzeptualisierung, YC und ZL; Methodik, YC; Software, YC; Validierung, YC; formale Analyse, YC; Untersuchung, ZL; Ressourcen, ZL; Datenkuratierung, YC; Schreiben – Vorbereitung des Originalentwurfs, YC; Schreiben – Überprüfung und Bearbeitung, ZL; Visualisierung, YC; Überwachung, ZL; Projektverwaltung, ZL; Mittelbeschaffung, ZL. Alle Autoren haben die veröffentlichte Version des Manuskripts gelesen und stimmen ihr zu.

**Finanzierung:** Diese Forschung wurde von der National Natural Science Foundation of China finanziert, Zuschussnummer 41461016 und Zuschussnummer 41761015.

Erklärung des Institutional Review Board: Nicht zutreffend.

Einverständniserklärung: Nicht zutreffend.

**Datenverfügbarkeitserklärung:** Die in der Studie vorgestellten Originalbeiträge sind im Artikel enthalten, weitere Anfragen können an den entsprechenden Autor gerichtet werden.

Interessenkonflikte: Die Autoren erklären, dass keine Interessenkonflikte bestehen.

### Verweise

- 1. Du, T.; Li, P.; Wang, Y.; Xue, X. Längsabfall der Rauchtemperatur **und** Frontgeschwindigkeit bei Tunnelbränden.
- Jiang, X.-P.; Chen, X.-G.; Guo, K. Untersuchung der kritischen Geschwindigkeit von Tunnelbränden mit seitlicher Punktrauchabsaugung. China Saf. Sci. J. 2021, 31, 105–111. [CrossRef]
- 3. Zhao, Q.; Li, J.-M.; Xie, X.; Liu, W. Numerische Studie zur Rauchdiffusion und Rauchkontrolle in unterirdischen Kurventunneln in Städten . J. Phys. Conf. Ser. 2023, 2445, 012003. [CrossRef]
- Kashef, A.; Saber, HH; Gao, L. Optimierung von Notfallbelüftungsstrategien in einem Straßentunnel. Fire Technol. 2016, 47, 1019–1046. [CrossRef]
- Wang, F. Forschung zu Schlüsselparametern der Betriebsbelüftung von gekrümmten Autobahntunneln. Doktorarbeit, Südwest-Jiaotong Universität, Chengdu, China, 2010. [CrossRef]
- 6. Wang, F.; Dong, G.-H.; Wang, M. Untersuchung der kritischen Luftgeschwindigkeit zur Brandrauchkontrolle in einem gekrümmten Tunnel. Mod. Tunn. Technol. **2015**, 52, 84–89. [CrossRef]
- 7. Wang, F.; Wang, M.; Carvel, R.; Wang, Y. Numerische Studie zur Bewegung und Kontrolle von Brandrauch in gekrümmten Straßentunneln. Tunn. Undergr. Space Technol. 2017, 67, 1–7. [CrossRef]
- 8. Caliendo, C.; Ciambelli, P.; De Guglielmo, ML; Meo, MG; Russo, P. Numerische Simulation verschiedener Lkw-Brandszenarien in gekrümmten Zweirichtungs-Straßentunneln und Sicherheitsbewertung. Tunn. Undergr. Space Technol. 2012. 3133. 50. [CrossRef]
- 9. Wu, C.; He, J.; Ni, T. Untersuchungen zur Rauchbewegung bei kurvenförmigen Tunnelbränden mit kleinem Radius. Fire Sci. Technol. **2014**, 33, 37–40. [Querverweis]
- Wang, F.; Wang, M.-N. Eine rechnergestützte Studie über die Auswirkungen des Brandortes auf die Rauchbewegung in einem Straßentunnel. Tunn. Undergr. Weltraumtechnologie. 2016, 51, 405–413. [CrossRef]
- 11. Zhong, M.-H.; Shi, C.-L.; He, L.; Shi, J.; Liu, C.; Tian, X. Rauchentwicklung bei großflächigen Bränden in langen, geneigten und großen gekrümmten Tunneln unter natürlicher Belüftung. Appl. Therm. Eng. 2016, 108, 857–865. [CrossRef]
- 12. Zhang, S.; Yang, H.; Yao, Y.; Zhu, K.; Zhou, Y.; Shi, L.; Cheng, X. Numerische Untersuchung der Rückschichtungslänge und der kritischen Geschwindigkeit in gekrümmten U-Bahn-Tunneln mit unterschiedlichem Wenderadius. Fire Technol. 2017, 53, 1765–1793. [CrossRef]
- Pan, R.-L.; Zhu, G.-Q.; Liang, Z.-H.; Zhang, G.; Liu, H.; Zhou, X. Experimentelle Studie zur Brandform und Maximaltemperatur unterhalb der Deckenmittellinie in einem Versorgungstunnel unter dem Einfluss einer gekrümmten Seitenwand. Tunn. Undergr. Space Technol. 2020, 99, 103304.
   [Querverweis]
- Lu, K.-X.; Xia, K.-H.; Shi, C.; Yang, M.; Wang, J.; Ding, Y. Untersuchung des Tunnelkrümmungseffekts auf die Decke Temperatur von Tunnelbränden: Eine numerische Simulation. Fire Technol. 2021, 57, 2839–2858. [CrossRef]
- 15. Xu, Z.-S.; Zhou, D.-M.; Tao, H.; Zhang, X.; Hu, W. Untersuchung der kritischen Geschwindigkeit in gekrümmten Tunneln unter den Auswirkungen unterschiedlicher Brandorte und Wenderadien. Tunn. Undergr. Space Technol. 2022, 126, 104553. [CrossRef]
- 16. Muhasilovic, M.; Deville, MO Einfluss der Tunnelkrümmung auf die Ausbreitung der Folgen von Großbränden Eine CFD-Untersuchung. Turk. J. Eng. Environ. Sci. 2013, 31, 391–402. [CrossRef]
- 17. Lu, F. Simulationsforschung zur Brandrauchkontrolle in gekrümmten Autobahntunneln. Dissertation, Harbin Institute of Technology, Harbin. China. 2017. [CrossRef]
- 18. Zhao, W.-F.; Lv, S.-J.; Xu, H. Rauchbewegungseigenschaften von Feuer in Tunneln mit kleinem Krümmungsradius. Fire Sci. Technol. **2019**, 38, 77–81. [CrossRef]
- Lin, L.; Jian, G.; Xiong, X.-P. Numerische Analyse des Rauchflusses bei Tunnelbränden mit einfacher Krümmung. J. Nanchang Hangkong Univ. (Nat. Sci. Ed.) 2019, 33. 66–67. 88. [CrossRef]
- Liu, Z.; Chen, C.; Liu, M.; Wang, S.; Liu, Y. Numerische Simulationen zur Löschwirkung von Wassernebelsystemen mit verschiedenen Parameter der Längslüftung bei Kurventunnelbränden. Adv. Civ. Eng. 2021, 5, 1–13. [CrossRef]
- 21. JTG/T D70/2-02-2014; Richtlinien für die Gestaltung der Belüftung von Autobahntunneln. People's Communications Press: Peking, China, 2014.
- 22. NFPA 502; Standard für Autobahntunnel, Brücken und andere Autobahnen mit beschränktem Zugang. National Fire Protection Association:

  Ouincy, MA, USA, 2020.
- 23. McGrattan, K.; McDermott, R.; Floyd, J.; Hostikka, S.; Forney, G.; Baum, H. Computergestützte Strömungsdynamik-Modellierung von Feuer. Int.
  J. Comput. Fluid Dvn. 2012, 26, 349–361. [CrossRef]
- 24. McGrattan, K.; Hostikka, S.; McDermott, R.; Floyd, J.; Weinschenk, C.; Overholt, K. Fire Dynamics Simulator Users Guide, 6. Auflage; Sonderveröffentlichung (NIST SP)–1019; National Institute of Standards and Technology: Gaithersburg, MD, USA, 2013. [CrossRef]
- 25. Fan, C.; Chen, J.; Zhou, Y.; Liu, X. Auswirkungen des Brandortes auf die Kapazität des Rauchabzugs aus natürlichen Lüftungsschächten in städtischen Tunnel. Fire Mater. 2018, 42, 974–984. [CrossRef]
- McGrattan, KB; McDermott, RJ; Weinschenk, CG; Forney, GP Fire Dynamics Simulator Technical Reference Guide Band 1: Mathematisches Modell; NIST-Sonderveröffentlichung; National Institute of Standards and Technology: Gaithersburg, MD, USA, 2013.
   [Querverweis]
- 27. Ji, J.; Gao, ZH; Fan, CG; Sun, JH Large Eddy Simulation des Kamineffekts auf die natürliche Rauchabzugswirkung auf städtischen Straßen Tunnelbrände. Int. J. Heat Mass Tran. 2013, 66, 531–542. [CrossRef]
- Zhang, X.-L.; Lin, Y.-J.; Shi, C.; Zhang, J. Numerische Simulation der maximalen Temperatur und Rauchrückschichtungslänge in ein geneigter Tunnel mit natürlicher Belüftung. Tunn. Undergr. Space Technol. 2021, 107, 103661. [CrossRef]

- 29. Bai, Y.; Zhang, X.-F.; Yan, X.; Zeng, Y. Studie zur Geschwindigkeitskontrolle unter Beschuss in einem zweispurigen Straßentunnel in großer Höhe. Chin. J. Undergr. Space Eng. **2019**, 15, 269–276.
- 30. Weltstraßenverband (PIARC). Das Handbuch für Autobahntunnel; Weltstraßenverband: Pairs, Frankreich, 2016.
- 31. Zheng, B.; Fang, L.; Guo, R. Analyse des Längstemperaturverteilungsgesetzes und der Einflussfaktoren in großen Höhen Tunnel unter unidirektionaler Belüftung. Mod. Tunn. Technol. **2021**, 58, 349–358. [CrossRef]
- 32. Liu, B.; Mao, J.; Xi, Y.; Hu, J. Auswirkungen der Höhe auf die Rauchbewegungsgeschwindigkeit und die Längstemperaturverteilung im Tunnel Brände. Tunn. Undergr. Space Technol. 2021, 112, 103850. [CrossRef]
- 33. JTG D70/2-2014; Spezifikationen für die Konstruktion von Autobahntunneln. Abschnitt 2 Verkehrstechnik und zugehörige Einrichtungen. China Communications Press: Peking, China, 2014.
- 34. Jafari, S.; Farhanieh, B.; Afshin, H. Numerische Untersuchung der kritischen Geschwindigkeit in gekrümmten Tunneln: Parametrische Studie Entwicklung eines neuen Modells. Tunn. Undergr. Space Technol. 2023, 135, 105021. [CrossRef]
- 35. Jafari, S.; Farhanieh, B.; Afshin, H. Auswirkungen von Brandparametern auf die kritische Geschwindigkeit in gekrümmten Tunneln: Eine numerische Studie und Reaktionsflächenanalyse. Fire Technol. 2024, 60, 1769–1802. [CrossRef]
- 36. Pan, R.-L.; Wang, Y.-N.; Yue, S.-Y.; Ran, C.-H.; Cheng, H.-H.; Zhong, M.-H. Umfassende experimentelle Studie zu den Eigenschaften des Längsrauchströmungsfelds in Hochgeschwindigkeitstunneln. J. Tsinghua Univ. (Sci. Technol.) 2024, 1–12. [CrossRef]
- 37. Nationale Eisenbahnverwaltung der Volksrepublik China. Entwurfsvorschriften für Evakuierungstechnik zur Katastrophenvorbeugung und Rettung von Eisenbahntunneln; Nationale Eisenbahnverwaltung der Volksrepublik China: Peking, China. 2017.
- 38. Leslie, J.: Millenson, J. Prinzipien der Verhaltensanalyse: Prentice Hall: Hoboken, NJ, USA, 1967,
- 39. PIARC Technischer Ausschuss Straße. Brand- und Rauchbekämpfung in Straßentunneln; PIARC Technischer Ausschuss Straße: La Défense, Frankreich,
- 40. National Fire Protection Association. NFPA 72 Nationaler Brandmelde- und Signalisierungscode Ausgabe 2019; National Fire Protection Association: Boston, MA. USA. 2019.
- 41. Caliendo, C.; Ciambelli, P.; De Guglielmo, ML; Meo, MG; Russo, P. Simulation der Evakuierung von Personen im Falle eines Brandes in einem Straßentunnel. Procedia: Social & Behavioral. Sciences 2012, 53, 178–188. [CrossRef]
- 42. Wang, G.-H.; Yan, Z.-G. Simulationsstudie zur Evakuierungszeit in einem langen und steilen Fußgängerüberweg eines Autobahntunnels. Mod. Tunn. Technol. **2019**, S. 2, 132–137. [CrossRef]
- 43. GB 1589-2016; Grenzwerte für Abmessungen, Achslasten und Massen für Kraftfahrzeuge, Anhänger und Lastkombinationen. Allgemeine Verwaltung für Qualitätsüberwachung, Inspektion und Quarantäne der Volksrepublik China: Peking, China, 2016.
- 44. Wang, X.; Qu, J.-R.; Xia, Y.; Wang, L.; Zhen, Y. Studie zur Evakuierung und Rettung von Feuerwehrpersonal in einem einseitigen zweispurigen Autobahntunnel.

  J. Undergr. Space Eng. 2020, 16, 944–954.
- 45. Zhang, T.-R.; Li, W.; Yan, Z.-G. Untersuchungen zur Leistungsfähigkeit von Längsrauchabsaugstrategien und Personalevakuierungen in Straßentunnel. Mod. Tunn. Technol. 2020, 57, 651–661. [CrossRef]
- 46. Jones, WW Stand der Technik bei der Zonenmodellierung von Bränden. Die Vereinigung zur Forderung des Deutschen Brandschutzes e. V. (VFDB).

  In Proceedings des 9. Internationalen Brandschutzseminars, Technische Methoden für den Brandschutz, München, Deutschland, 25.–26. Mai 2001; S. 89–126.

Haftungsausschluss/Anmerkung des Herausgebers: Die in allen Veröffentlichungen enthaltenen Aussagen, Meinungen und Daten sind ausschließlich die der einzelnen Autoren und Mitwirkenden und nicht die von MDPI und/oder den Herausgebern. MDPI und/oder die Herausgeber lehnen jegliche Verantwortung für Personen- oder Sachschäden ab, die aus den im Inhalt erwähnten Ideen, Methoden, Anweisungen oder Produkten resultieren.